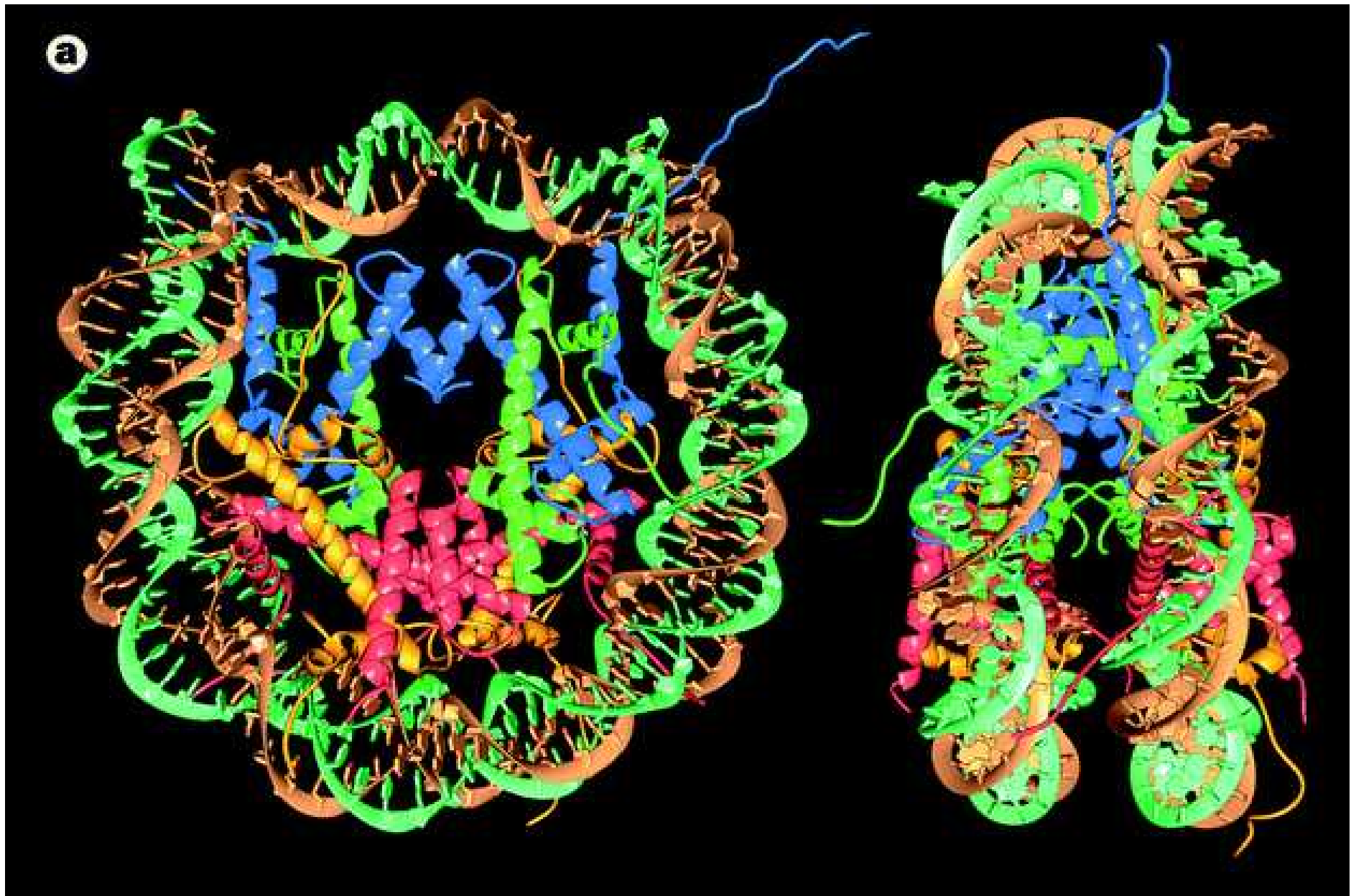


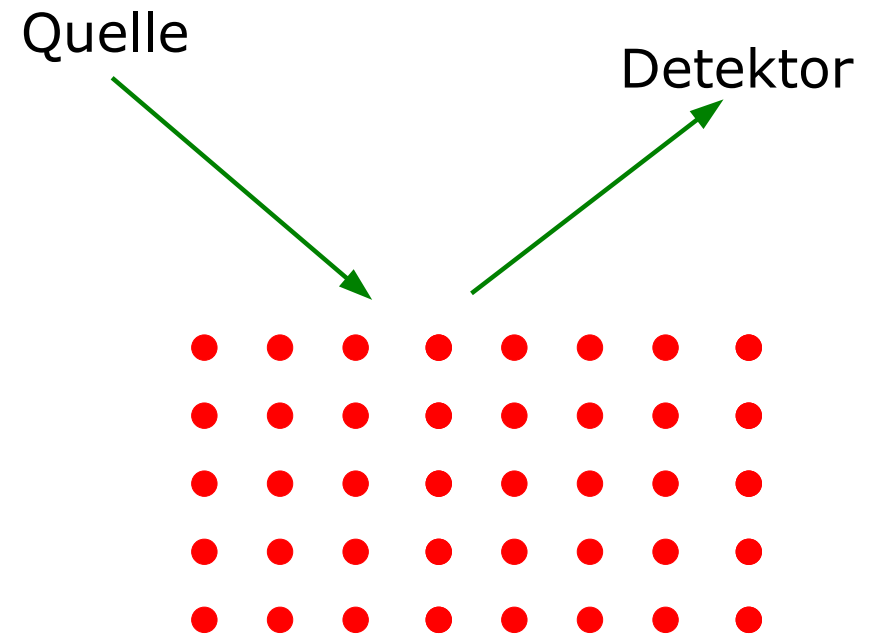
Die Struktur des "Nucleosom Core Particle" des Chromatins

Basiseinheit der Organisation von DNA in Chromosomen (Protein + DNA)



Woher wissen die das eigentlich ??

Streuexperimente



- ◆ einfallendes Teilchen hat Wahrscheinlichkeitsamplitude
- ◆ wird gestreut an jedem Atom
- ◆ gestreute Amplituden interferieren
- ◆ Information über Gitterstruktur
und magnetische Momente, Gitterschwingungen,
Schwingungen der e- (Plasmonen),
- ◆ "Sichtbarmachen" der Struktur erfordert $\lambda \leq a$
- ◆ a typisch einige Å (= 100 pm)

$$\sin \Theta = \frac{n \lambda}{2a} \quad 2$$

Dispersionsrelationen $E(k)$

Photon:
 $m_0=0$, Drehimpuls

$$E = \hbar \omega = \hbar c k$$

$$\lambda = \frac{12.4 \text{ keV}}{E} \text{ \AA}$$

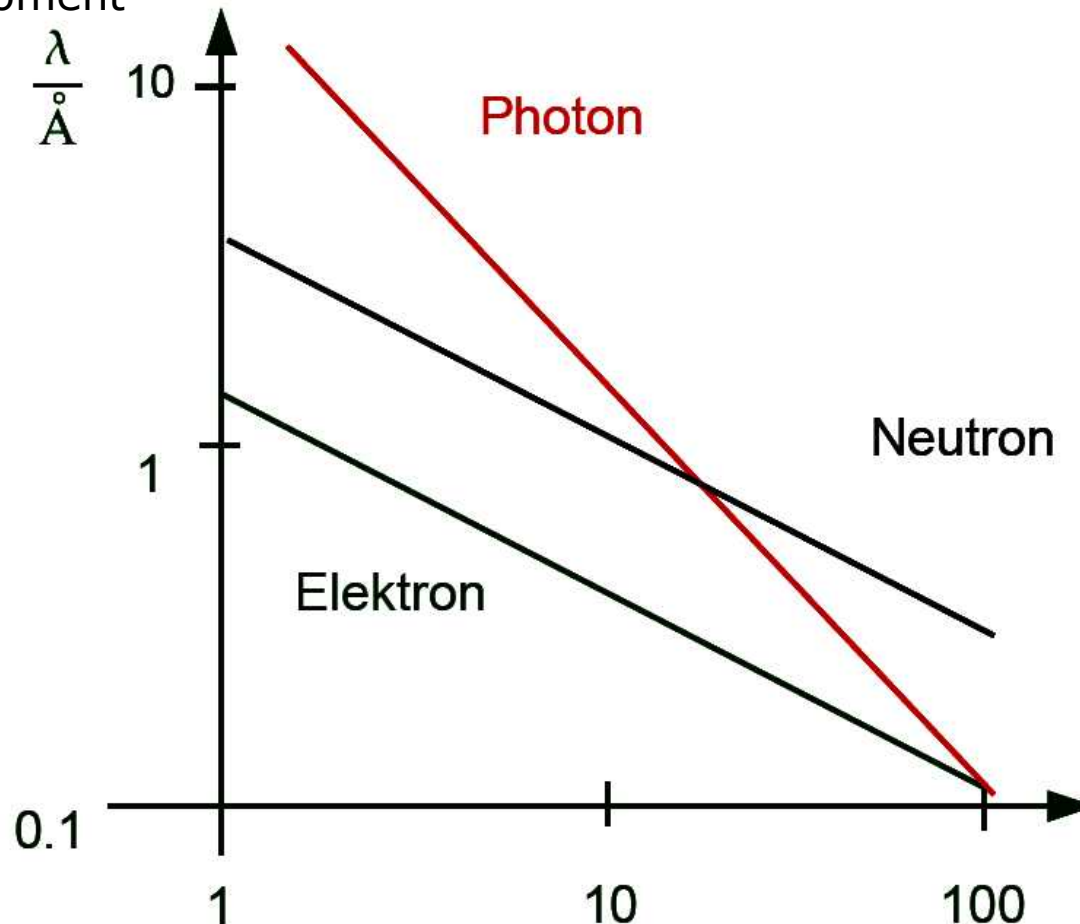
Neutron:
 neutral, magn. Moment

$$E = \frac{p^2}{2m} = \frac{\hbar^2 k^2}{2m}$$

$$\lambda = \frac{82 \text{ meV}}{E} \text{ \AA}$$

Elektron:
 -, magn. Moment

$$\lambda = \frac{150 \text{ eV}}{E} \text{ \AA}$$



$$\sin \Theta = \frac{n \lambda}{2d}$$

Photon in	1 keV
Elektron in	100 eV
Neutron in	10 meV

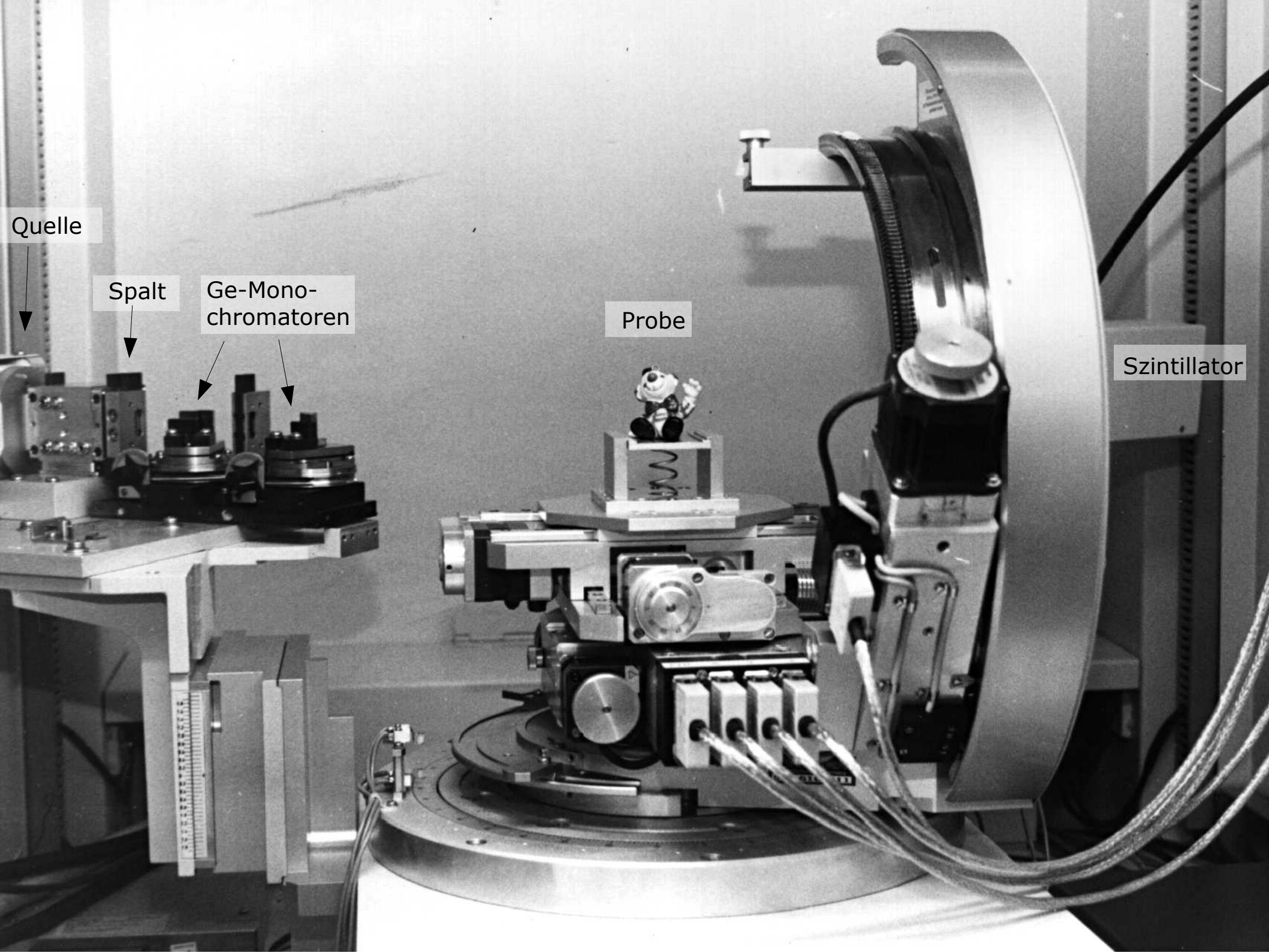
Quelle

Spalt

Ge-Mono-
chromatoren

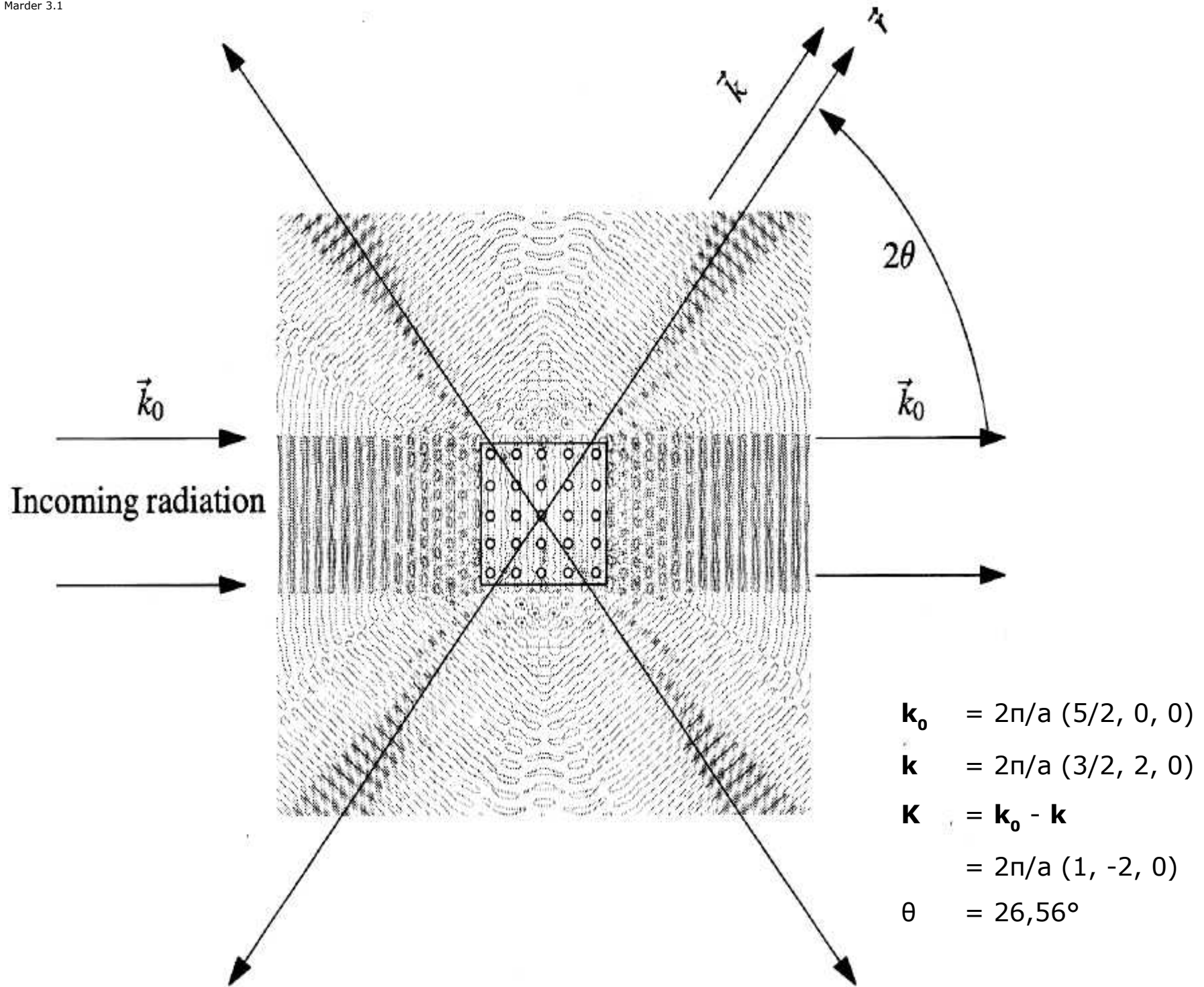
Probe

Szintillator



Strahlungsfeld eines quadratischen Kristalls von 25 Streuern

Marder 3.1



Max von Laue (1879 – 1960)

Nobelpreis für Physik 1914

Röntgenstrahlinterferenzen,
begründete Gebiet der
Röntgenstrukturanalyse

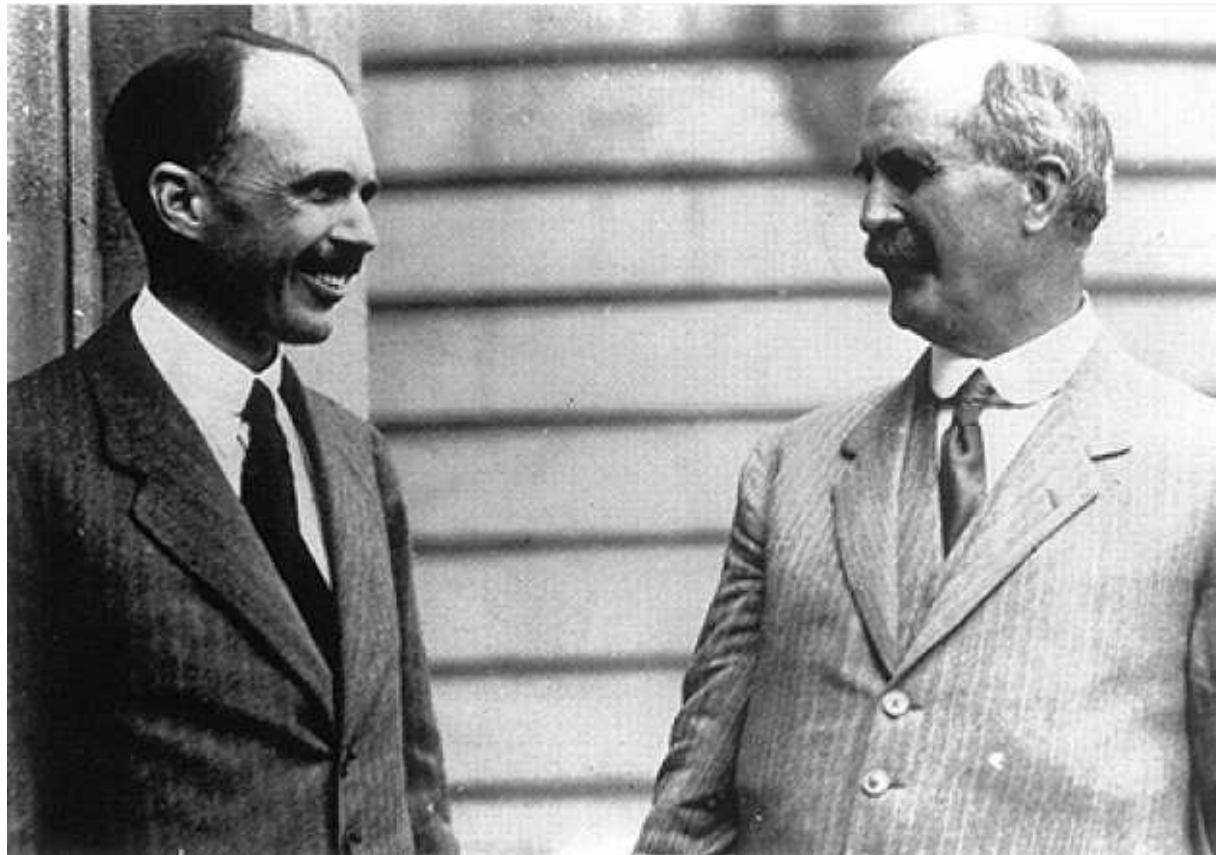


William Henry Bragg (1862 – 1942)

William Lawrence Bragg (1890 – 1971)

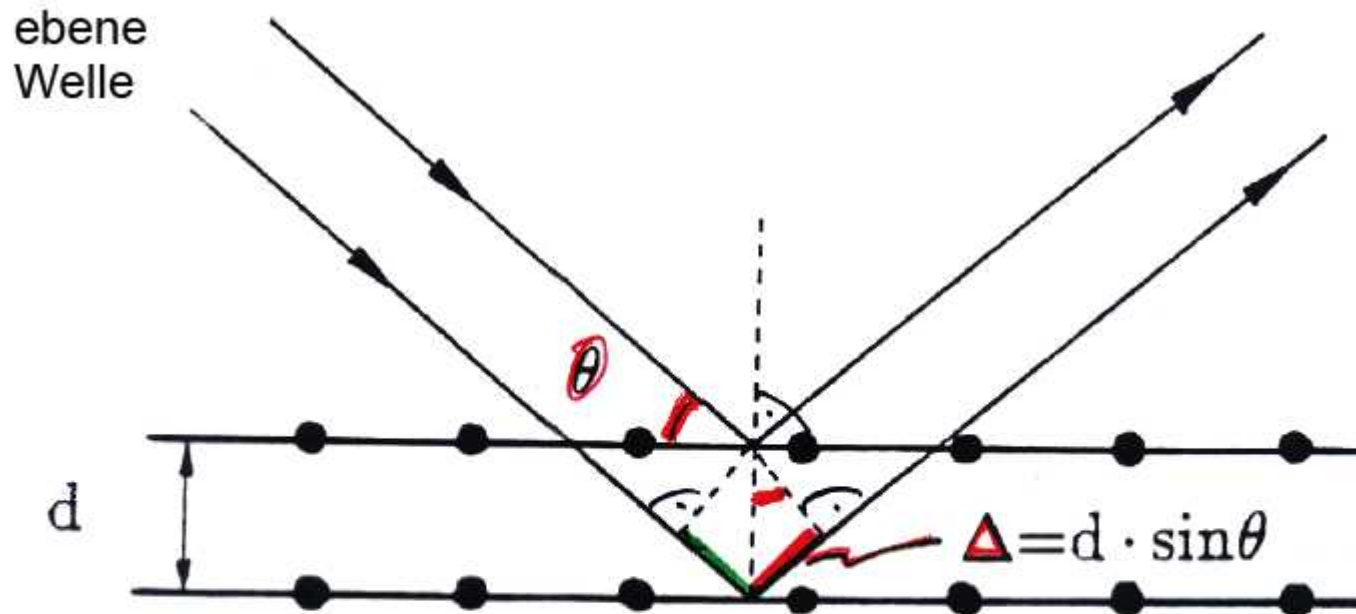
Nobelpreis für Physik (1915)

Bestimmung der Röntgenwellenlänge
per Drehkristallmethode
Ermöglichte Strukturanalyse
vieler anorganischer Substanzen



W.L. und W.H. Bragg (1913)

spiegelnde teilweise Reflektion an "Netzebenen"



Konstruktive Interferenz dann, wenn:

$$2 d \sin (\Theta) = n \lambda$$

Basisgleichung der Röntgendiffraktometrie

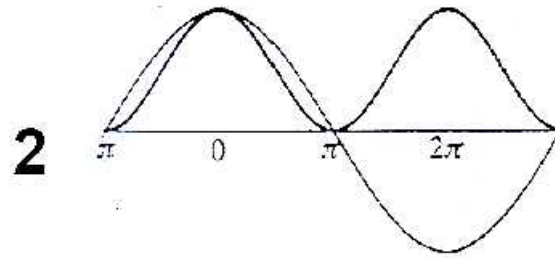
Eindringtiefe: VIELstrahlinterferenz

Röntgeneindringtiefe

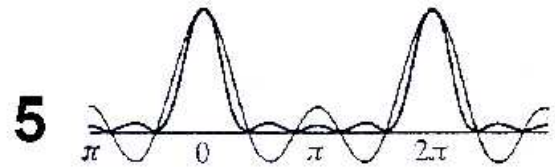
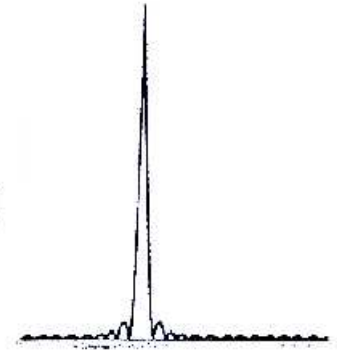
$10^3 - 10^5$ Lagen

Konsequenz:

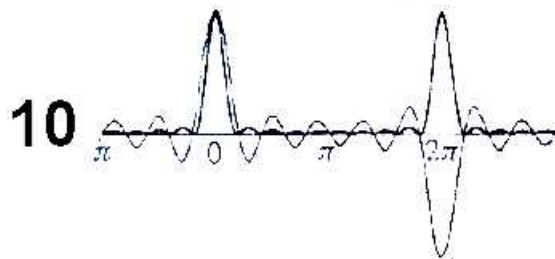
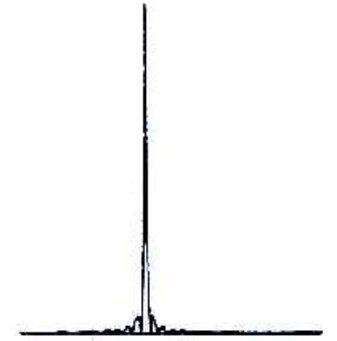
scharfe (!!) Reflexe
(falls Kristall "perfekt")



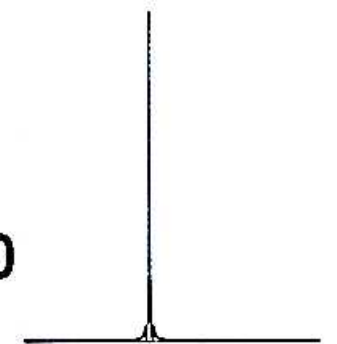
20



50



100



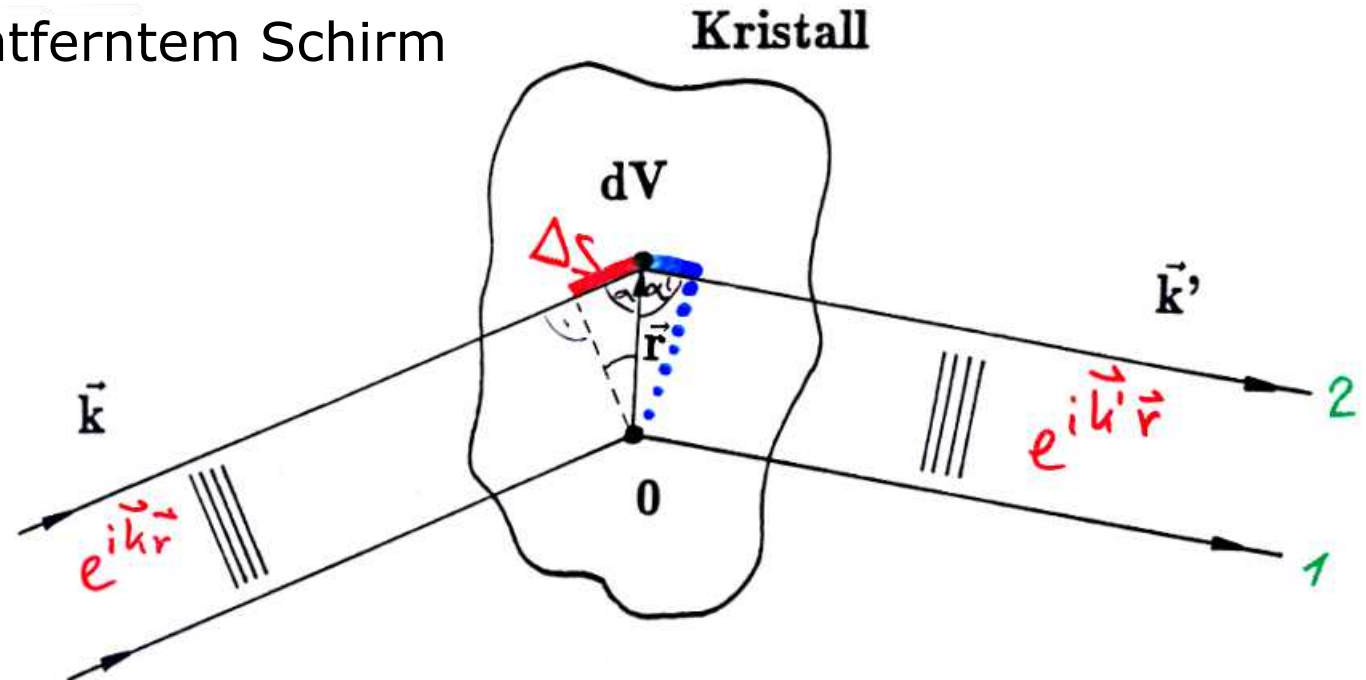
Von-Laue Formulierung der Beugung

ebene Welle von weit entfernter Quelle

Ohne "Netzebenen"

Streuung an Volumenelementen des Kristalls

Interferenz auf weit entferntem Schirm



Gangunterschied links $\Delta s = r \cos \alpha$

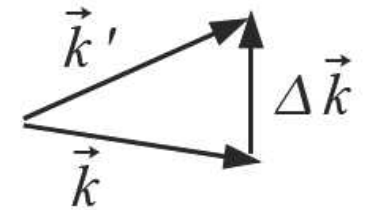
Phasenunterschied links $\frac{2\pi}{\lambda} r \cos \alpha = \vec{k} \cdot \vec{r}$
rechts $-\vec{k}' \cdot \vec{r}$

Phasenunterschied zwischen Streuwelle 1 & 2: $\exp(i(\vec{k} - \vec{k}') \cdot \vec{r})$

Streuamplitude vom ganzen Kristall: $A = \int_{\text{Kristall}} dV \rho(\vec{r}) \exp(i(\vec{k} - \vec{k}')\vec{r})$

Streudichte ρ erfüllt: $\rho(\vec{r}) = \rho(\vec{r} + \vec{T})$

Also darstellbar als: $\rho(\vec{r}) = \sum_{\vec{G} \in \text{REL}} \rho_{\vec{G}} \exp(i \vec{G} \vec{r})$



Eingesetzt: $A = \sum_{\vec{G} \in \text{REL}} \int dV \rho_{\vec{G}} \exp(i(\vec{G} - \Delta \vec{k})\vec{r})$ $\Delta \vec{k} := \vec{k}' - \vec{k}$

Nur $\neq 0$ falls: $\Delta \vec{k} = \vec{G}$

von Laue Gleichung

Beugungsreflexe gerade dann,

wenn Streuvektor $\Delta \mathbf{k}$ ein Vektor des reziproken Gitters ist

Ewald Konstruktion

Energie- und "Impuls"erhaltung

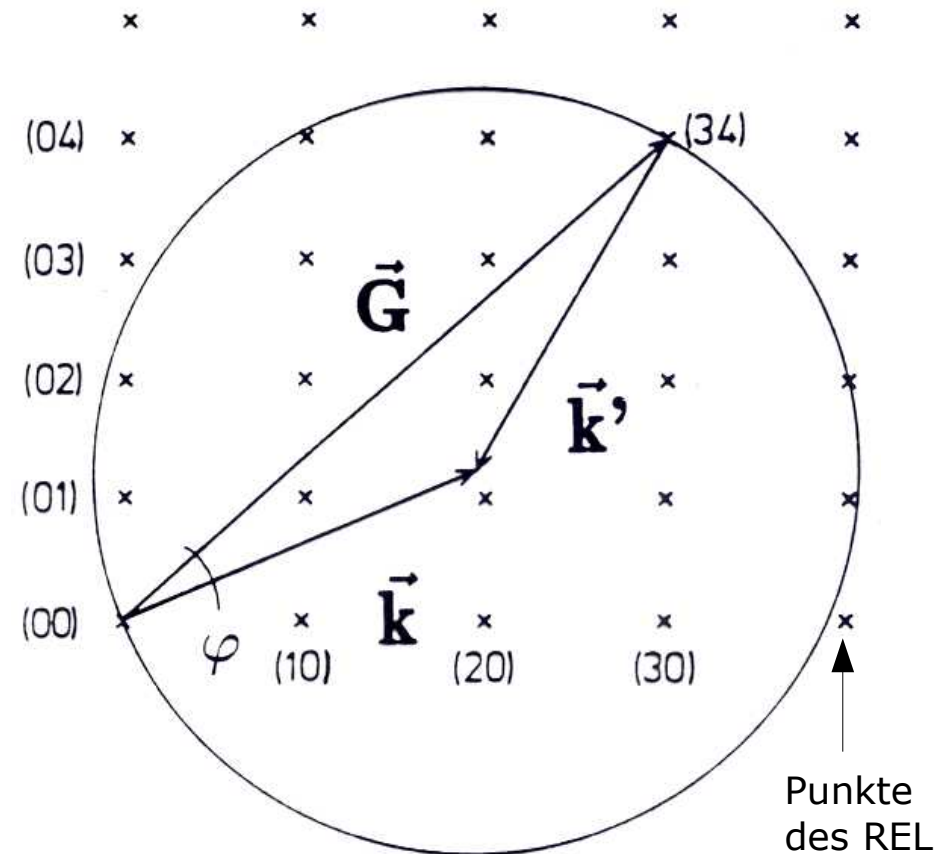
Zu erfüllen: $\Delta \vec{k} = \vec{G}$

und: $|\vec{k}| = |\vec{k}'|$

Zeichne Kugel mit Radius k
um die Spitze von \vec{k} !

Falls ein \vec{G}_{hkl} auf Kugeloberfläche

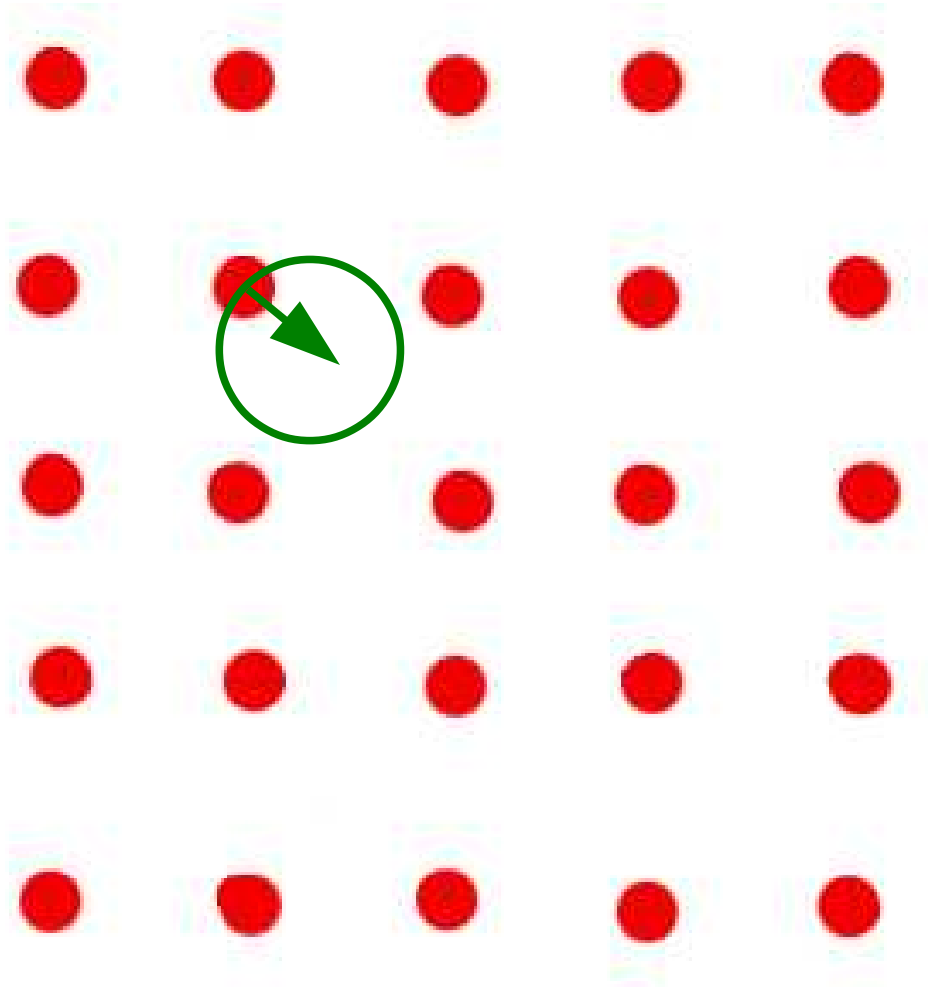
liegt: Reflex A_{hkl}



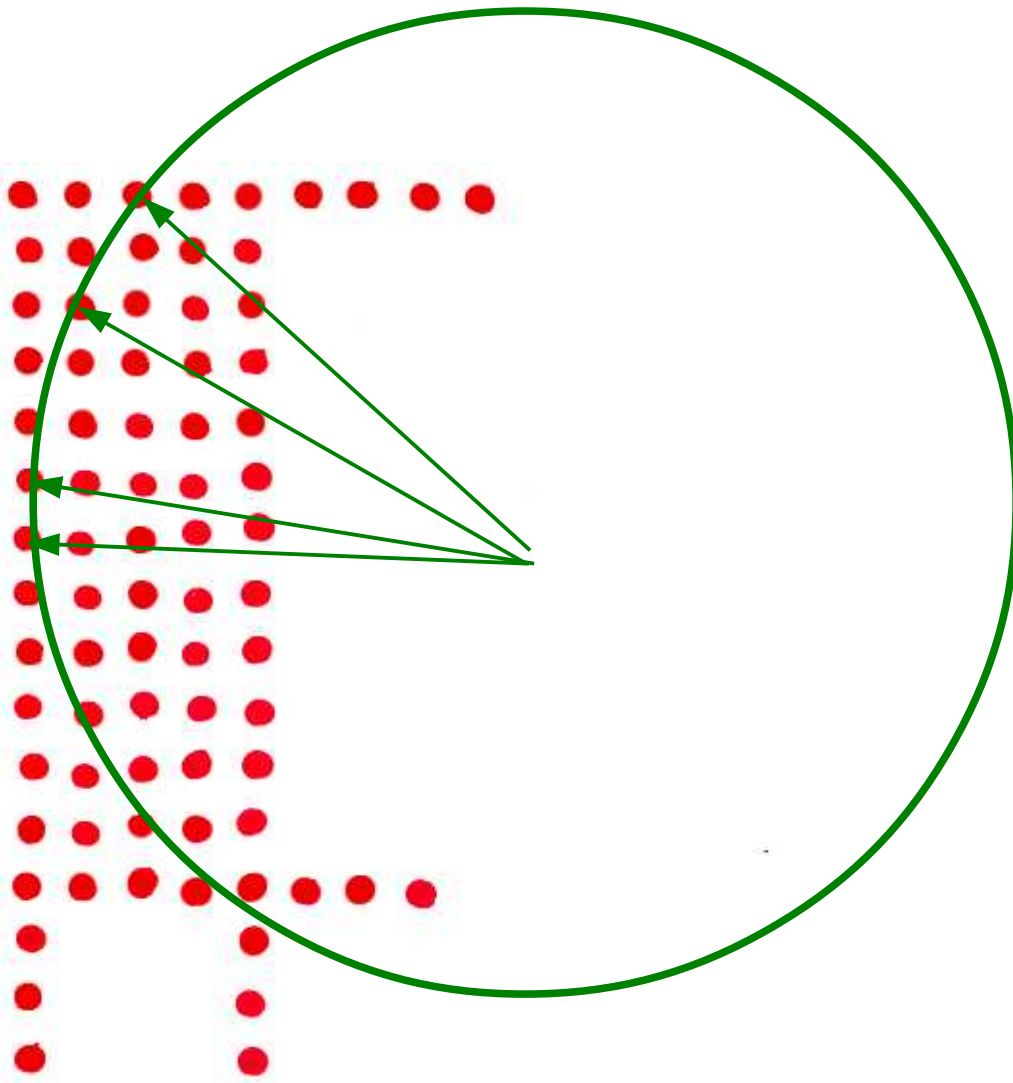
Falls $k < \mathbf{G}_{min}$: kein Reflex

entspricht: λ zu groß

$$n\lambda = 2d \sin \vartheta$$



Falls Einheitszelle sehr groß (z. B. Proteine 10 - 100 nm):



- $G_{\min} \ll k$
- viele, engliegende Reflexe
- erfordert gute Kristalle für scharfe Reflexe
- plus gute Monochromasie
- plus hohe Strahlparallelität

Rubisco: protein controlling CO₂ uptake of green plants ($\sim 10^{11}$ tons CO₂ per year)

Unit cell:

$a \approx b = 15.72 \text{ nm}$

$c = 20.13 \text{ nm}$

$\approx 200.000 \text{ C, O, N atoms}$
 $+ 32 \text{ Mn}$

data:

1s @Daresbury,

C.-I. Bränden et alii

$\approx 100\ 000 \text{ spots}$

(6 - 50 keV)

Umformulierung von Laue (mit Ziel k' zu entfernen)

$$\Delta \vec{k} := \vec{k}' - \vec{k} \quad \Delta \vec{k} = \vec{G}$$

$$\Rightarrow \vec{k} - \vec{G} = \vec{k}' \quad \text{denn mit } \mathbf{G} \text{ ist auch } -\mathbf{G} \in \text{REL}$$

$$\Rightarrow (\vec{k} - \vec{G})^2 = (\vec{k}')^2$$

Nur elastische Streuung: $|k'| = |k|$

$$\Rightarrow 2\vec{k}\vec{G} = |\vec{G}|^2$$

Beziehung zur Bragg-Bedingung

$$2 \vec{k} \vec{G} = |\vec{G}|^2$$

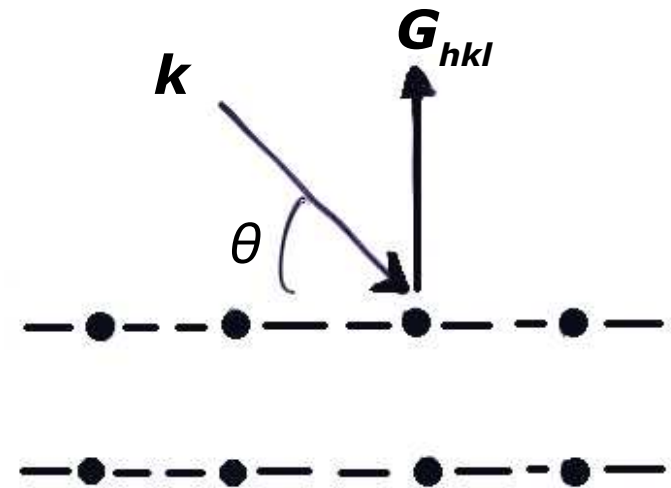
Aus Übung: $d_{hkl} = \frac{2\pi}{|G_{hkl}|}$

$$2 |k| \frac{\vec{k}}{|k|} \frac{\vec{G}}{|G|} = |G|$$

$$2 \underbrace{\frac{2\pi}{\lambda}}_{|k|} \underbrace{\sin \theta}_{\frac{\vec{k}}{|k|} \cdot \frac{\vec{G}}{|G|}} = \underbrace{\frac{2\pi}{d_{hkl}}}_{|G|}$$

$$\Rightarrow 2 d \sin \theta = n \lambda$$

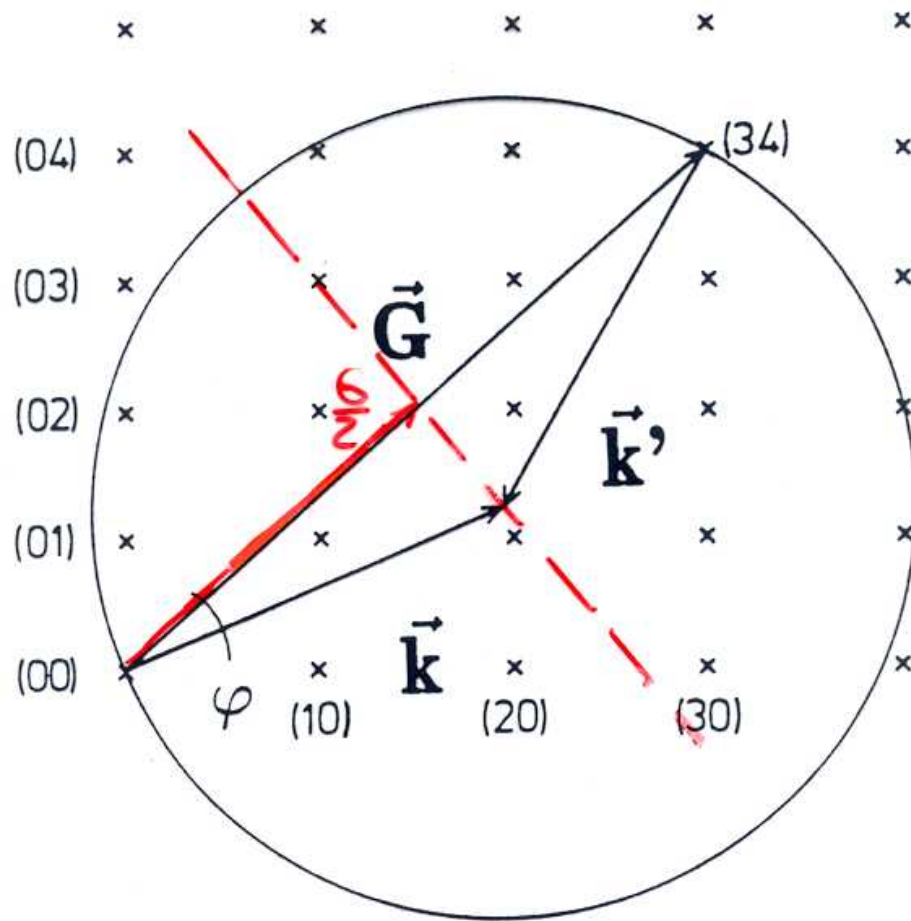
(2G, 3G, ... ergeben $n = 2, 3, \dots$)



Beugung und Brillouinzonen(ränder)

Beugungsbedingung $2 \vec{k} \cdot \vec{G} = |G|^2 \Rightarrow \vec{k} \cdot \frac{\vec{G}}{2} = \left| \frac{G}{2} \right|^2$

$$\Rightarrow \vec{k} \cdot \frac{\vec{G}}{\left| \frac{G}{2} \right|} = \left| \frac{G}{2} \right|$$



Projektion von \mathbf{k} auf Richtung
von \mathbf{G} muss Länge $G/2$ haben!

Ebenso für alle \mathbf{G}_{hkl}

konstruktive Interferenz, wenn \mathbf{k}
auf einer Mittelsenkrechten
liegt (vgl. Konstruktion der
Wigner-Seitz-Zelle)

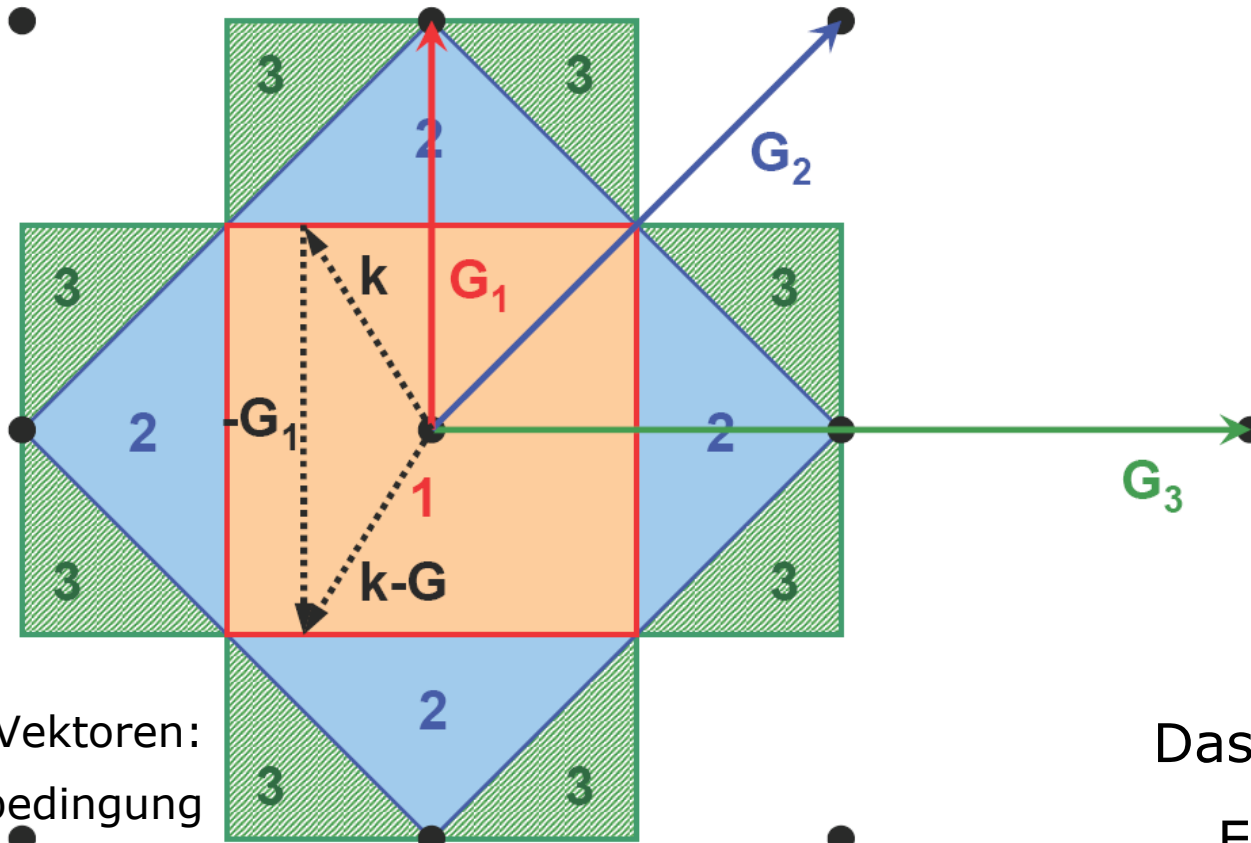
Ränder der Brillouinzonen

Bedeutung der Brillouinzone ?

Wellenvektoren auf BZ-Rändern erfüllen Beugungsbedingung

→ konstruktive Interferenz der Wellen mit \mathbf{k} , \mathbf{k}'

→ stehende Röntgenwellen

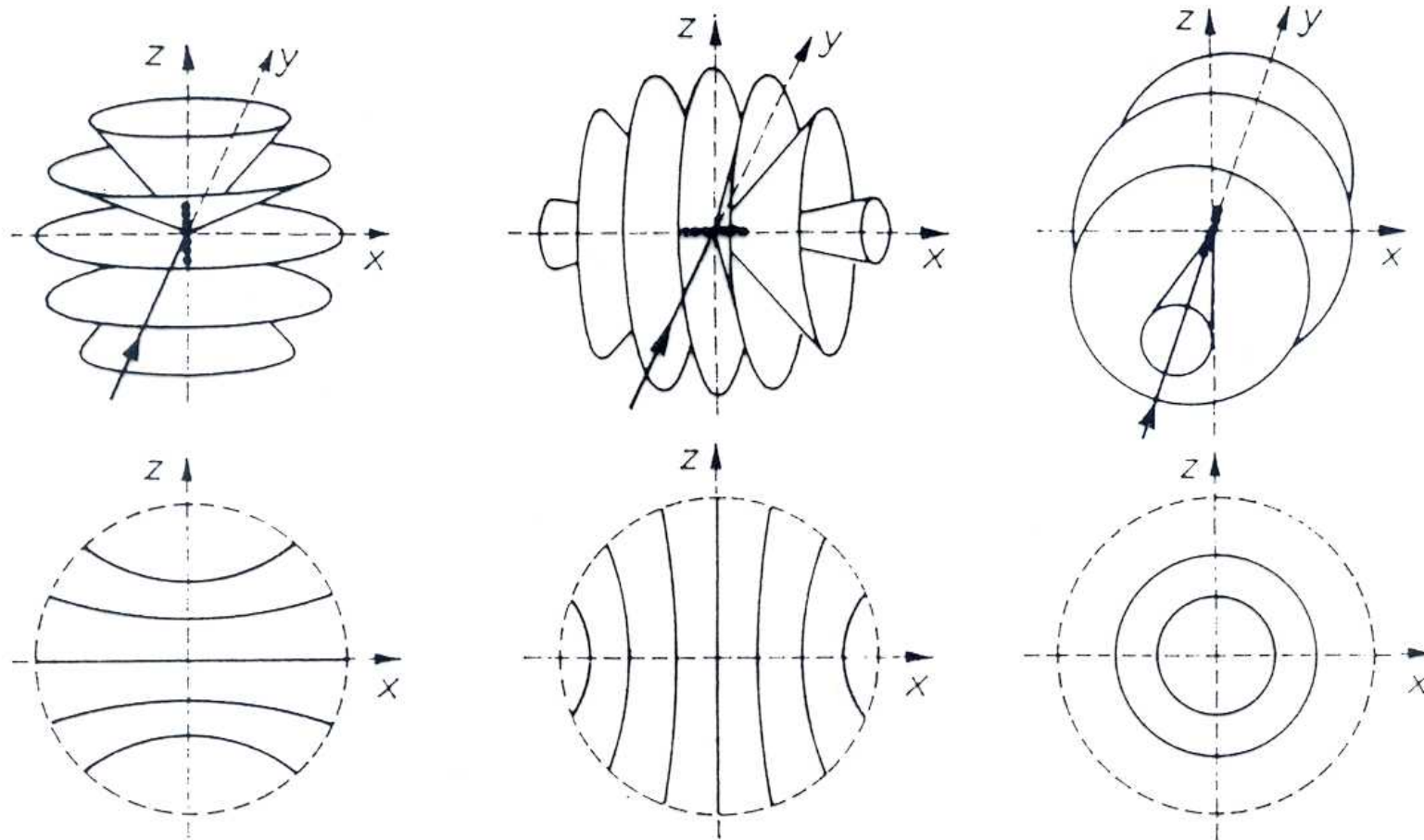


Gestrichelte Vektoren:
Beugungsbedingung

Das gilt genauso für
Elektronenwellen,
elastische Wellen, etc.

Wieviel Reflexe gibt es üblicherweise?

Vorüberlegung: Streuung an 1D-Kette



folglich: im Allgemeinen keine Reflexe ...

Nochmal, aber formaler...

$$\Delta \vec{k} = \vec{G}_{hkl} = h \vec{g}_1 + k \vec{g}_2 + l \vec{g}_3$$

multipliziere mit $\mathbf{a}_1, \mathbf{a}_2, \mathbf{a}_3$. Nutze $\vec{a}_i \vec{g}_j = 2\pi \delta_{ij}$

$$\Rightarrow \vec{a}_1 \Delta \vec{k} = 2\pi h \quad \vec{a}_2 \Delta \vec{k} = 2\pi k \quad \vec{a}_3 \Delta \vec{k} = 2\pi l$$

$$\sum \cos^2 \alpha = 1$$

Vier Bedingungen für die Richtungscosinus von $\Delta \mathbf{k}$:

... überbestimmt.

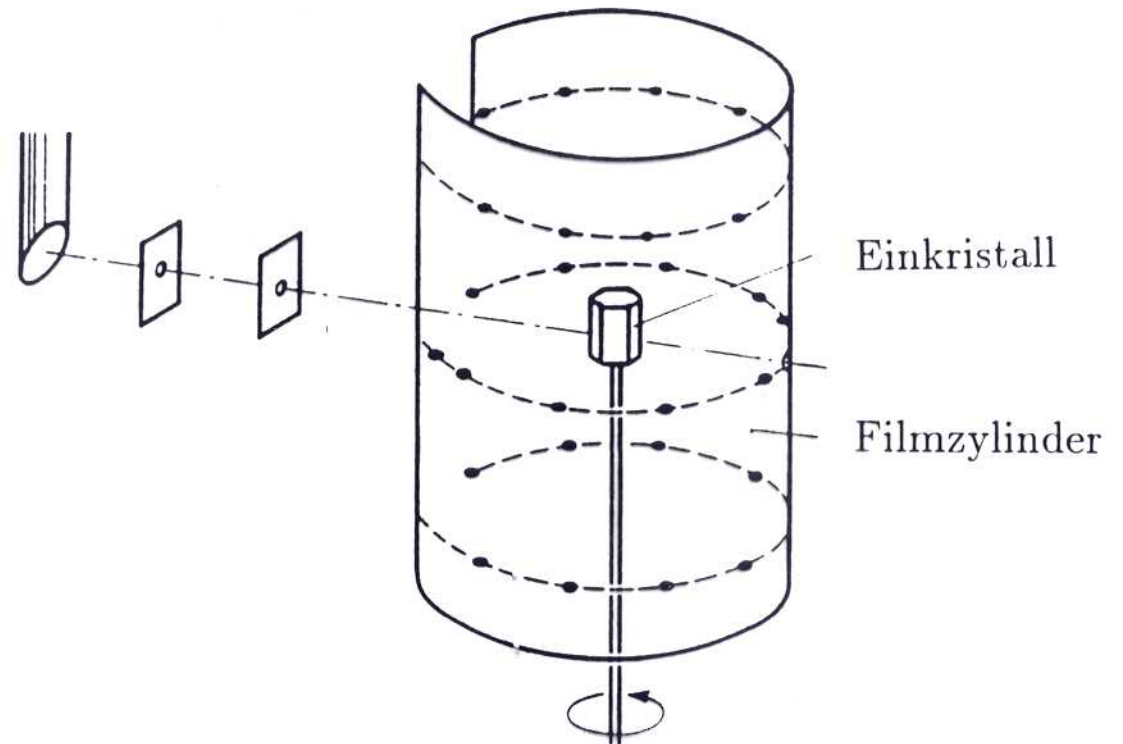
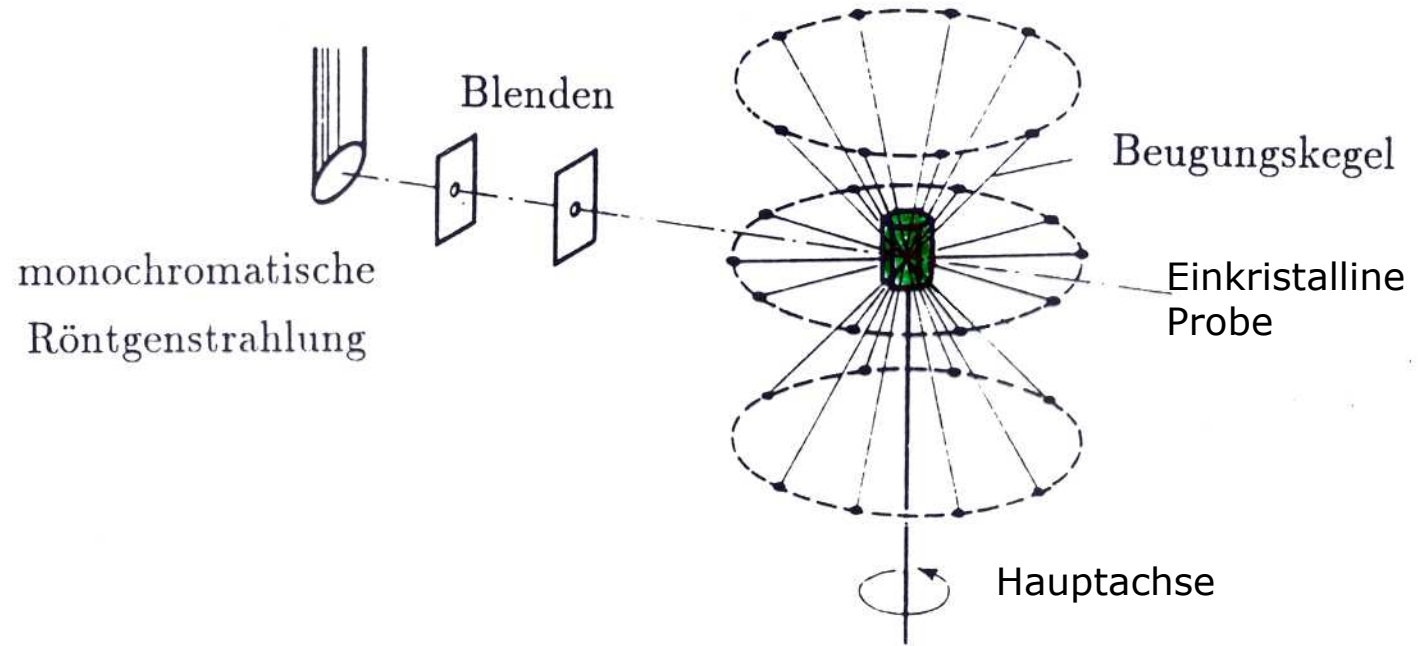
Messmethoden der Röntgenbeugung

Für $\Delta \vec{k} = \vec{G}$ existieren "im Allgemeinen" keine Lösungen.

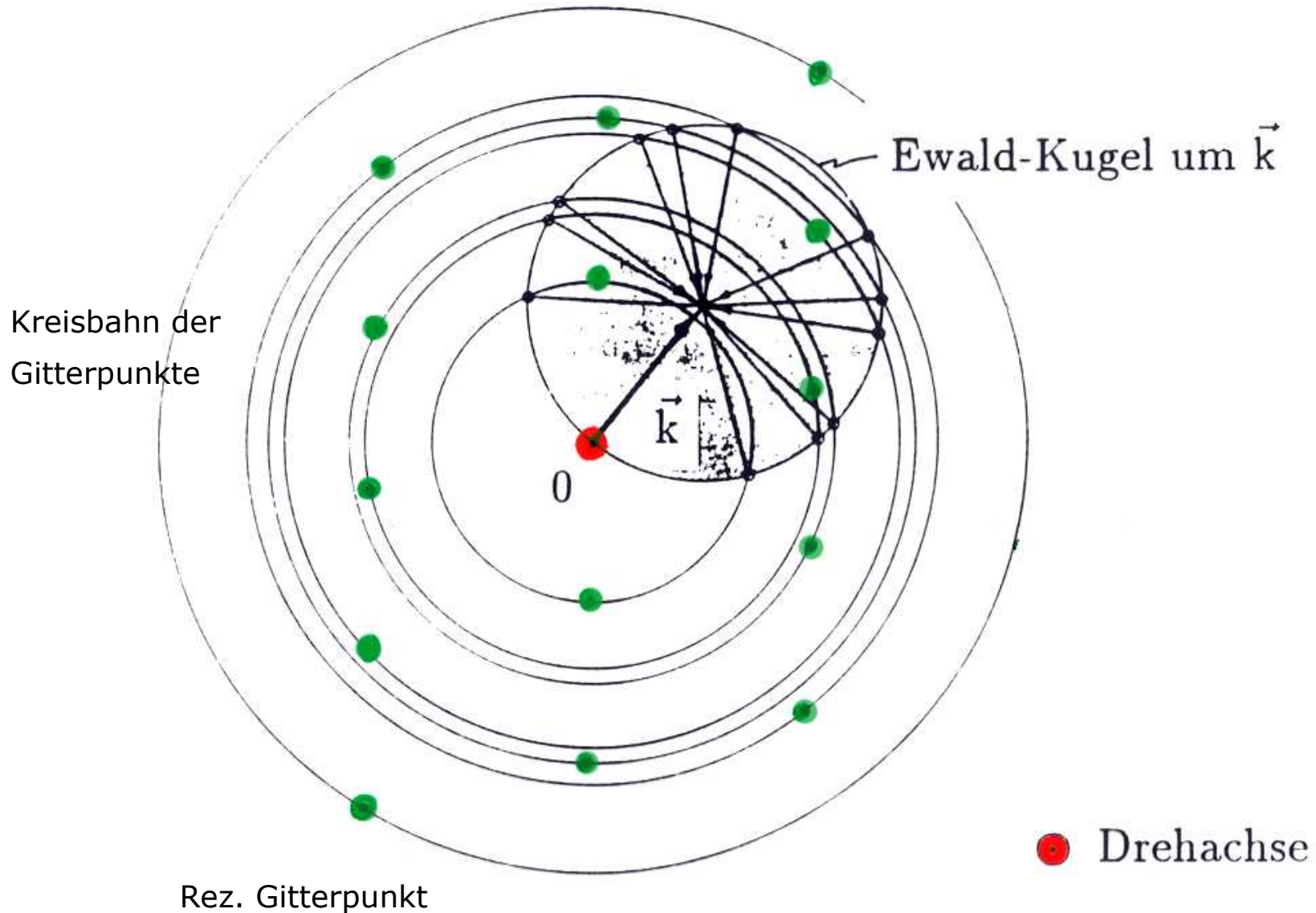
Wie möglichst viele Reflexe sehen?

- λ - Kontinuum Laue Methode
- festes λ ; Kristall drehen Drehkristallmethode
- festes λ ; Kristall-Pulver Debye-Scherrer methode

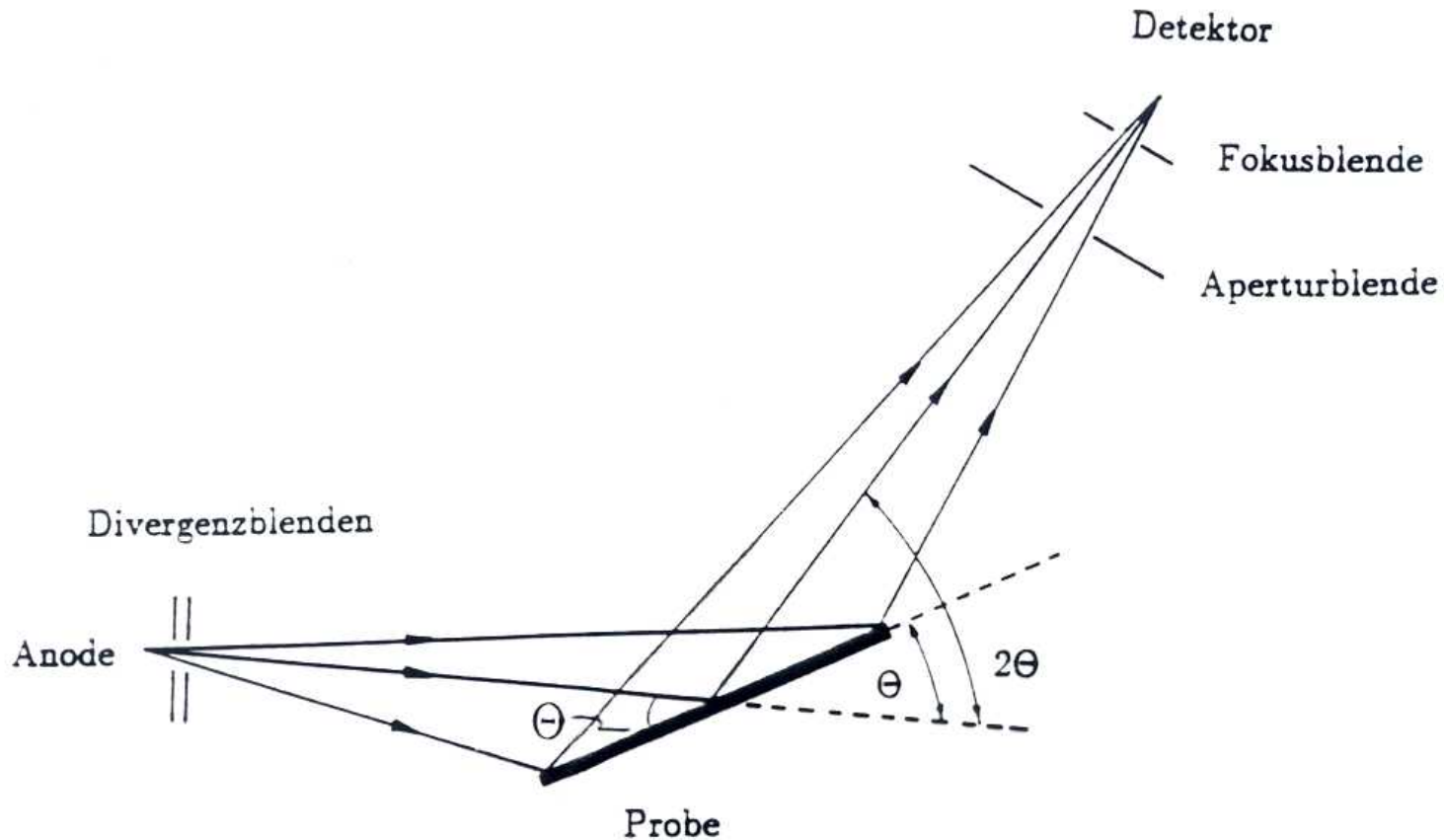
Drehkristall- methode



Drehkristallmethode im k-Raum



$\Theta - 2\Theta$ scan



Mit monochromatischer Röntgenquelle erhält man Diffraktogramm

Alternative Anwendung: bekannter Einkristall (z. B. Si) dient als Monochromator von Röntgenlicht aus einer Breitbandquelle

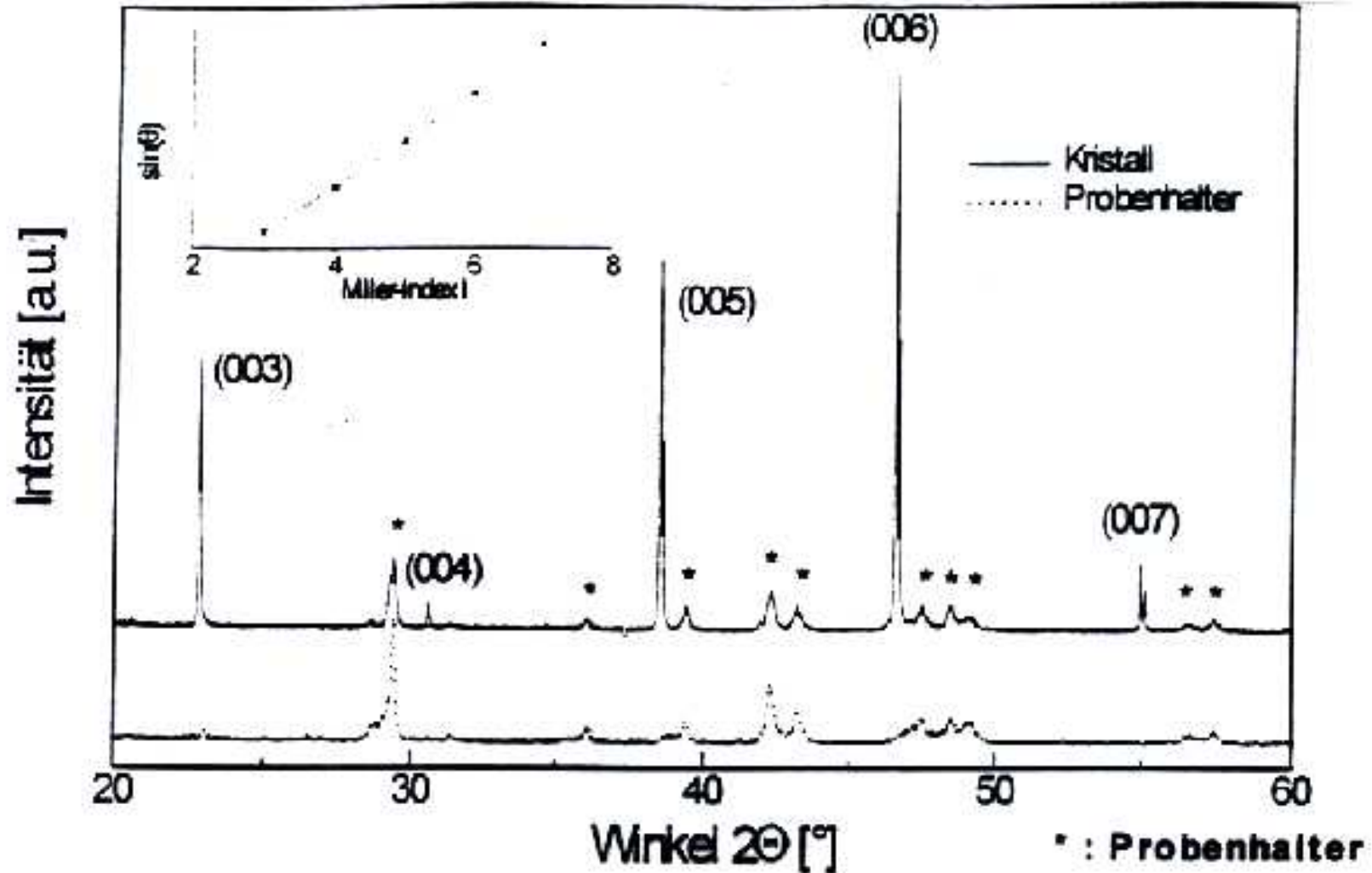


Abb. 3.6: Röntgenspektrum eines YBCO (24% Pr / Y) - Einkristalls. Unten und * : Reflexe des Probenhalters. Im Inset ist $\sin(\theta)$ gegenüber dem Miller-Index l zur Bestimmung des c -Achsen-Parameters aufgetragen.

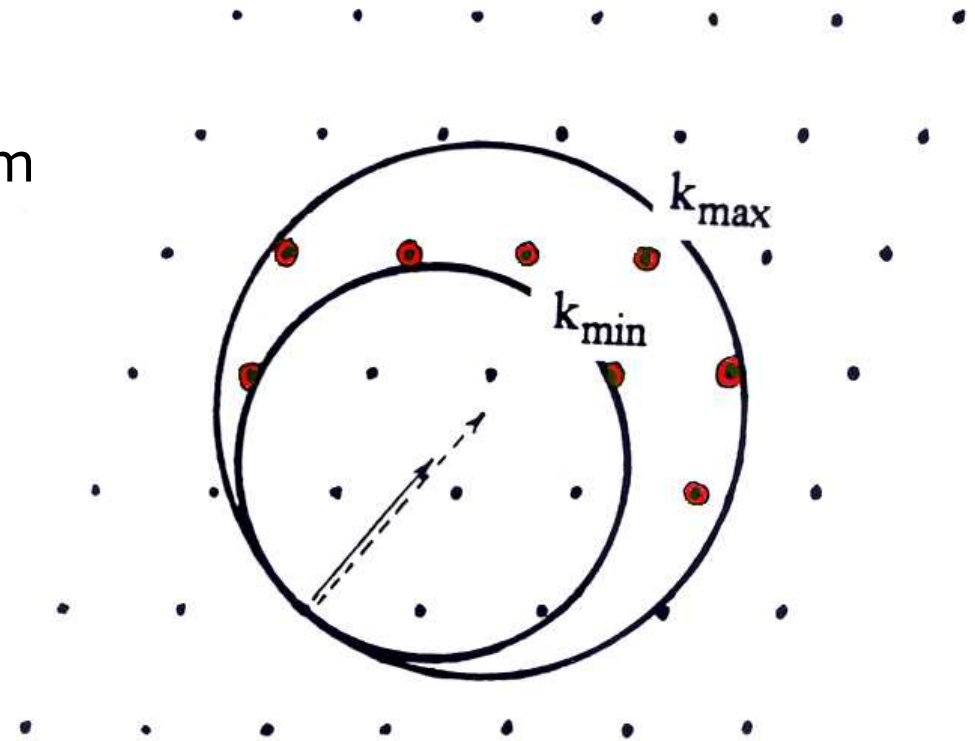
Laue – Methode

Bremsstrahlung: Röntgenkontinuum

$$20 \text{ pm} < \lambda < 200 \text{ pm}$$

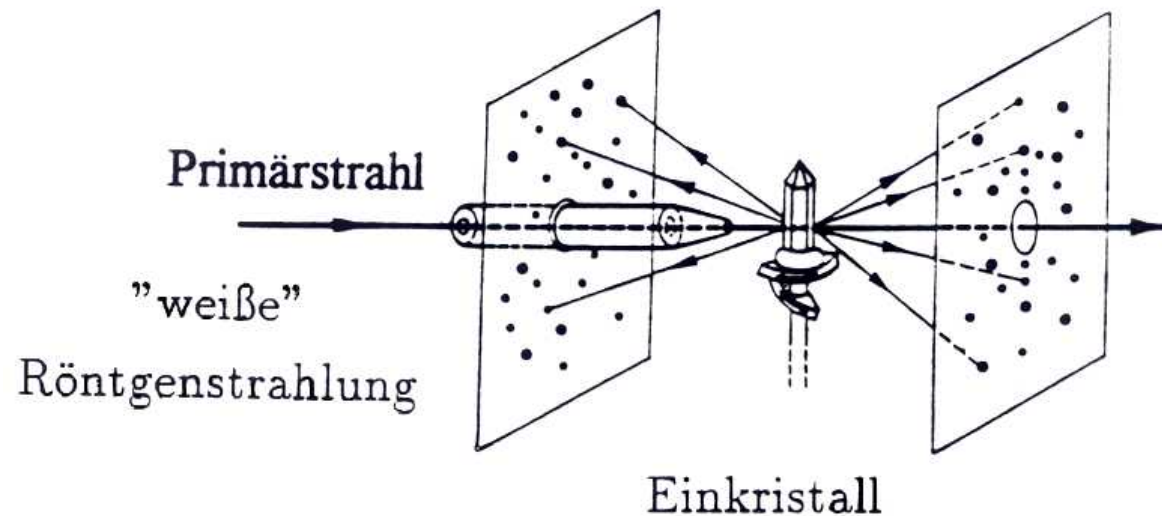
$$\lambda_{\min} = \frac{hc}{eU}$$

$$k_{\max} = \frac{2\pi}{\lambda_{\min}}$$

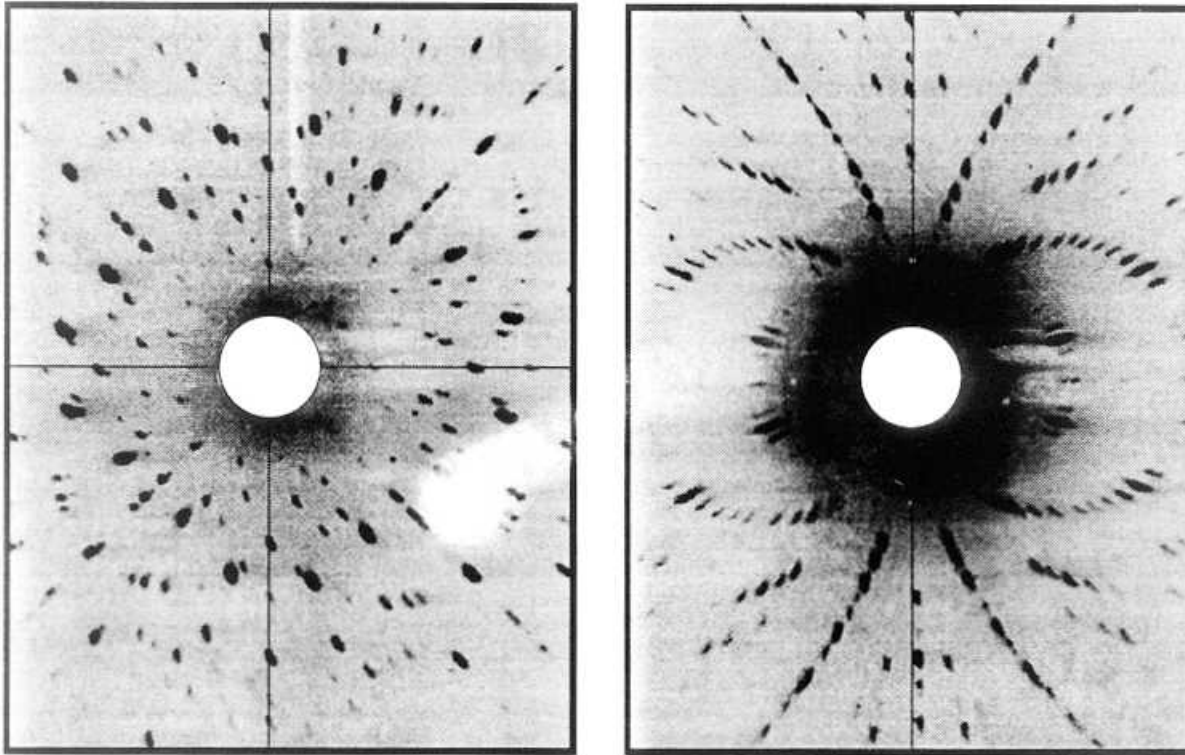


Film (Reflexion)

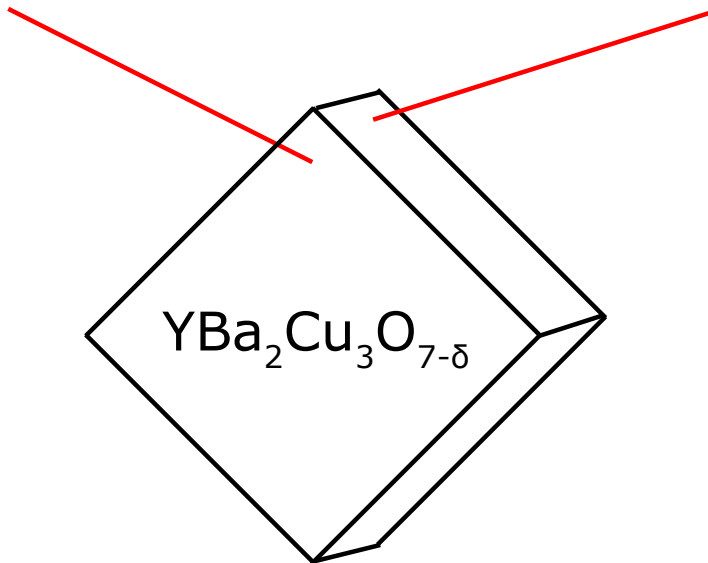
Film (Transmission)



Laueverfahren: Beispieldaten

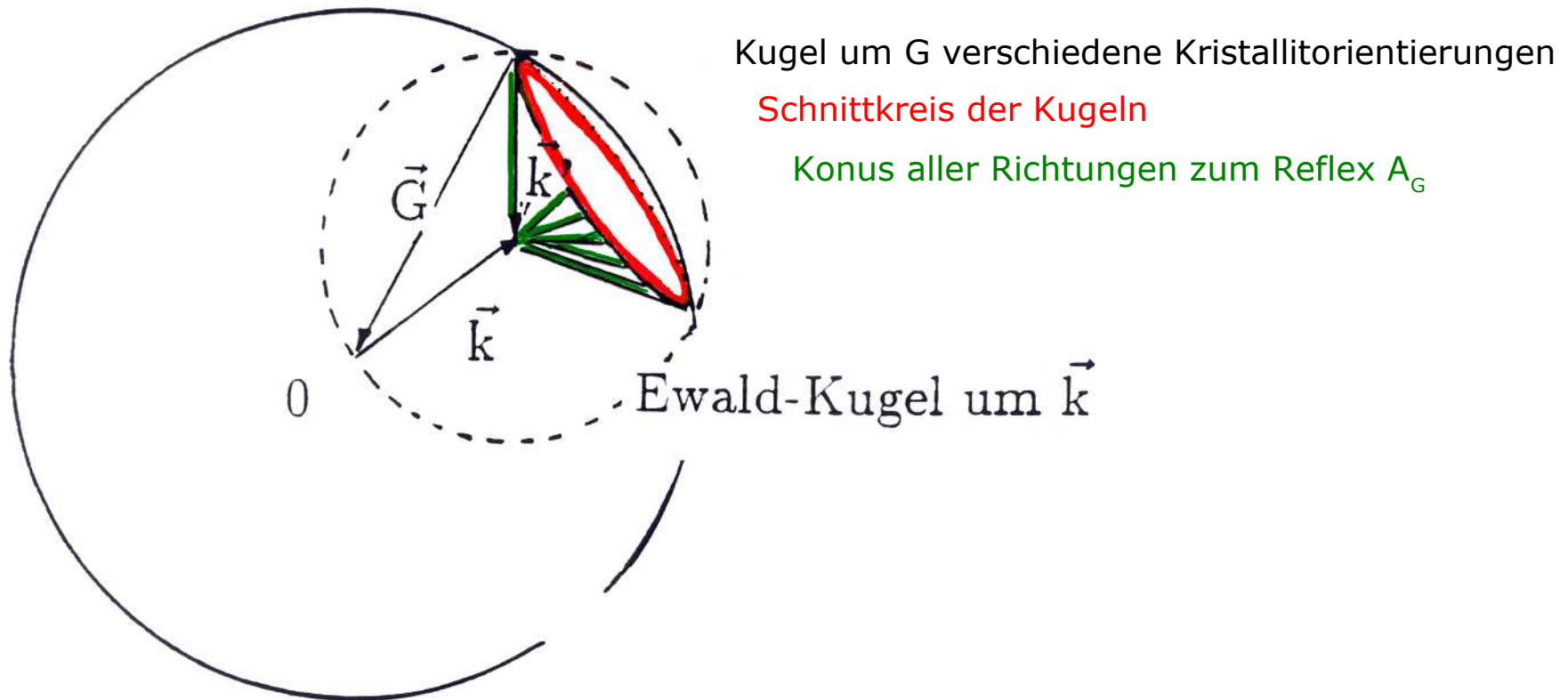


- Transmission, Cu- K_α
- 4 / 2-zählige Symmetrie
- tetragonales System
(Quaderförmige EZ,
primitiv oder zentriert)

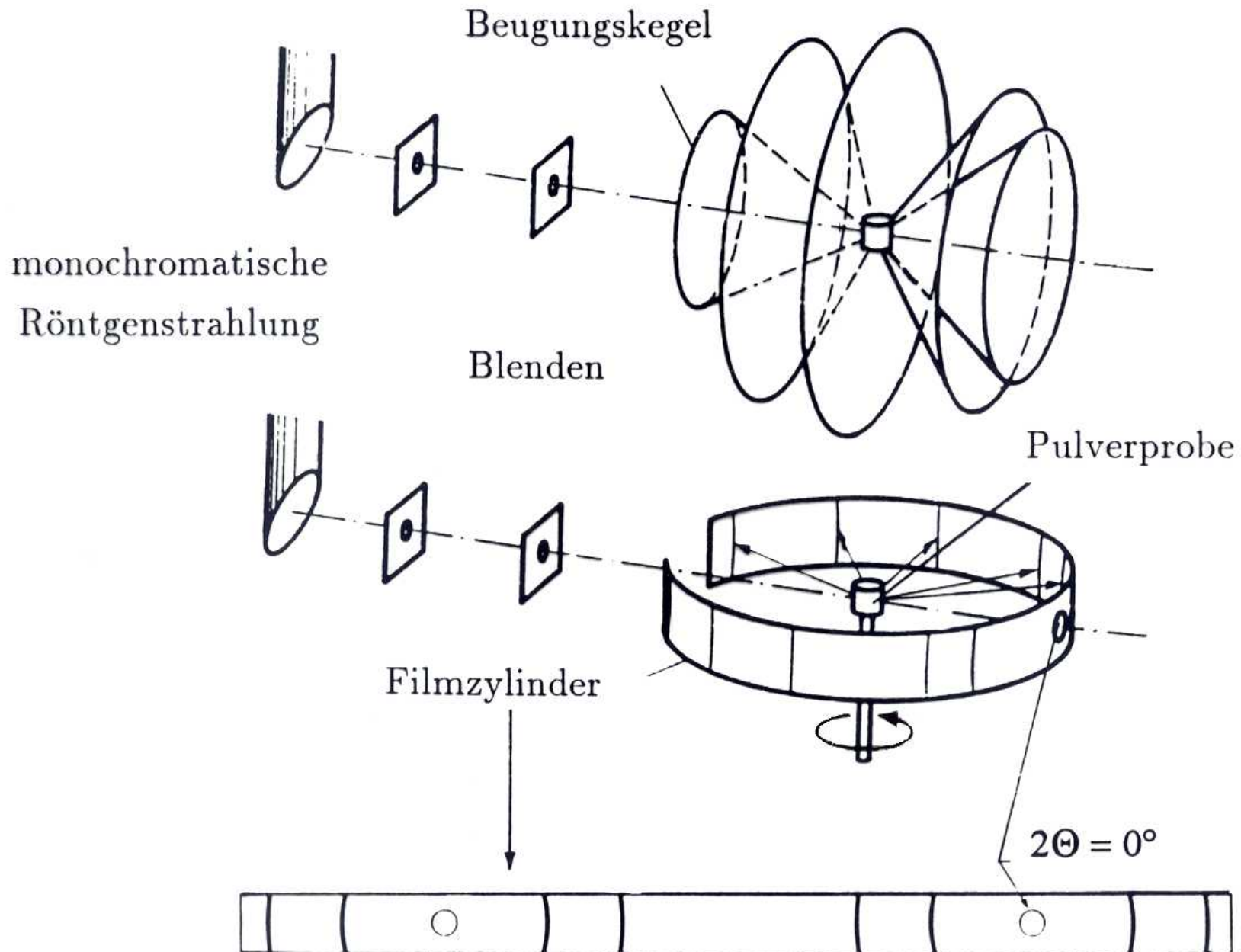


Debye Scherrer Methode

- Pulverproben - alle Orientierungen vorhanden
- mit Vorinformationen (z. B. Kristallsystem): Messung von a , b , c
- Idee: Debye-Scherrer wie Drehkristall, wobei die Drehachse jede beliebige Orientierung annimmt
- d.h. aus Kreisen werden Kugeln



Debye Scherrer Methode



Beugung am Gitter mit Basis - Idee

- Gitter bestimmt, wann Interferenz von Gitterpunkten auftritt
- Gitter ist Fiktion – letztlich streuen Atome/Elektronen
- Deshalb: Streuwellen von den verschiedenen Atomen der Basis
- Interferenz
- Verstärkung oder Auslöschung von Reflexen

- Also: Reflexintensitäten nutzbar, um Basis zu vermessen

Beugung am Gitter mit Basis - Formalismus

Amplitude des Reflexes \mathbf{G} $A_{\vec{G}} = \int_{\text{Kristall}} dV \rho(\vec{r}) e^{-i\vec{G}\vec{r}}$

Kinematische Näherung (ok für Röntgen – nicht für e^-)

Kristall mit N identischen Zellen: $A_{\vec{G}} = N \int_{\text{Zelle}} dV \rho(\vec{r}) e^{-i\vec{G}\vec{r}} = N S_{\vec{G}}$

Strukturfaktor

kann komplex sein;
gemessen wird Intensität

Basis besteht aus Atomen j: $\rho(\vec{r}) = \sum_j \rho_j(\vec{r} - \vec{r}_j)$

$$\begin{aligned} \Rightarrow S_G &= \sum_j \int dV \rho_j(\vec{r} - \vec{r}_j) e^{-i\vec{G}\vec{r}} \\ &= \sum_j e^{-i\vec{G}\vec{r}_j} \int dV \rho_j(\vec{r} - \vec{r}_j) e^{-i\vec{G}(\vec{r} - \vec{r}_j)} \\ &= \sum_j \exp(-i\vec{G}\vec{r}_j) f_j \end{aligned}$$

Atomarer Formfaktor f

Beispiel zum Strukturfaktor

$$S_G = \sum_j f_j \exp(-i \vec{G} \vec{r}_j)$$

$$\vec{G} = h \vec{b}_1 + k \vec{b}_2 + l \vec{b}_3 \quad \vec{r}_j = x_j \vec{a}_1 + y_j \vec{a}_2 + z_j \vec{a}_3$$

$$\vec{a}_i \cdot \vec{b}_j = 2\pi \delta_{ij}$$

Natrium:

bcc, 2 gleiche Atome in Basis an $(0, 0, 0)$ und $(1/2, 1/2, 1/2)$

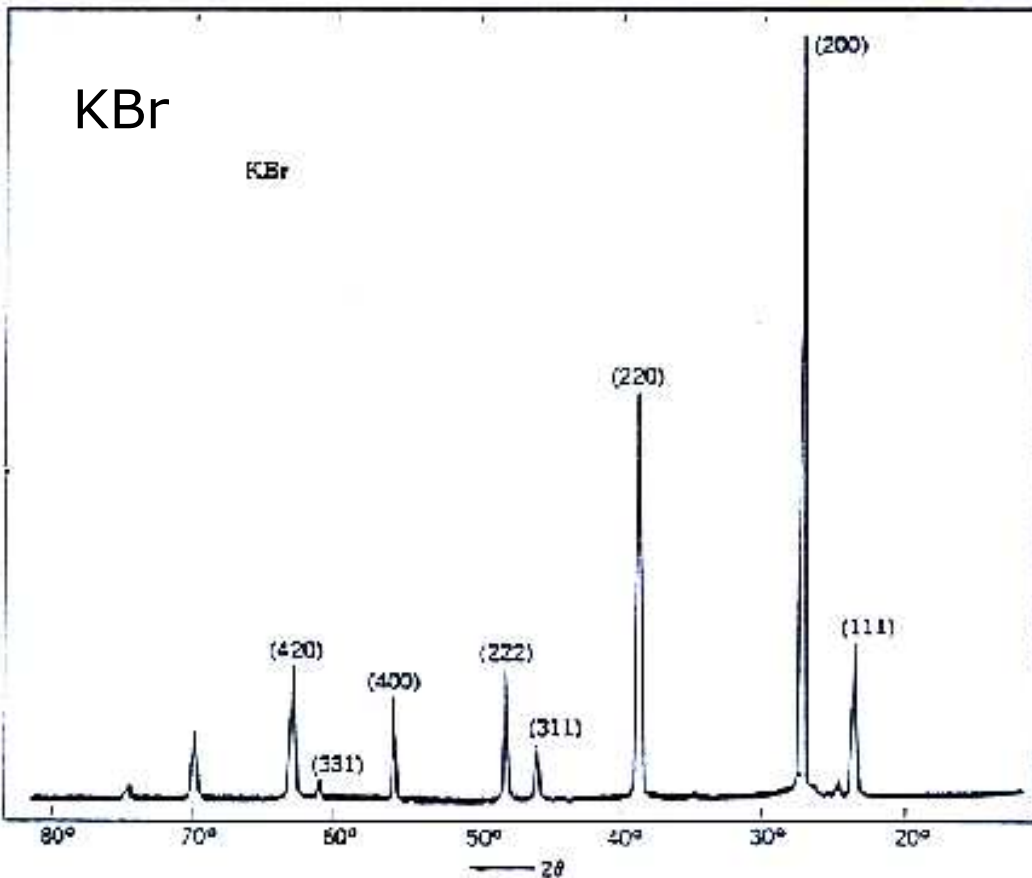
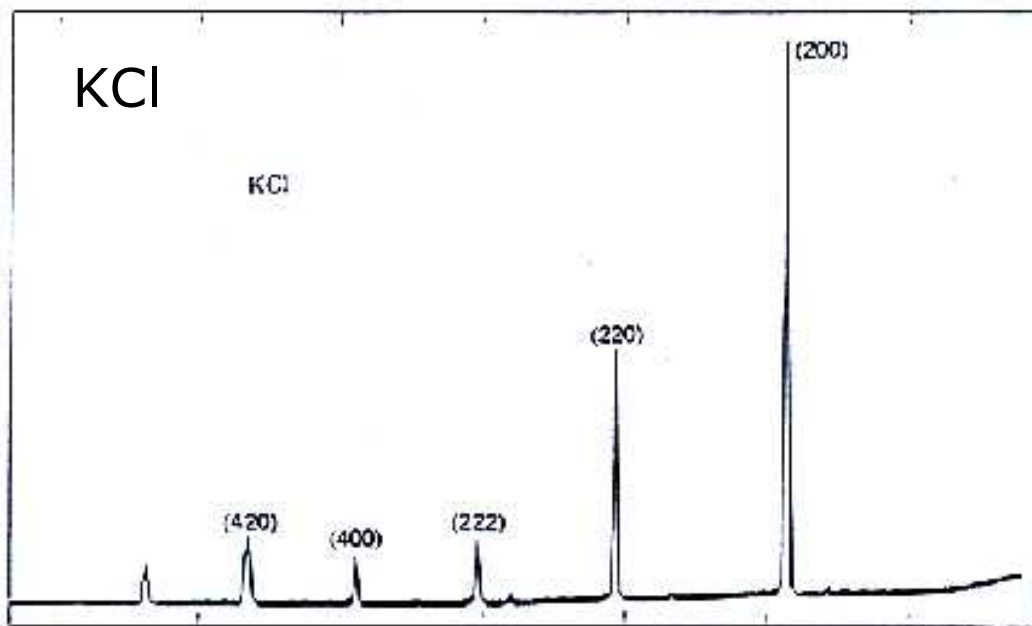
$$\Rightarrow S = f_{Na} \left(1 + \exp(-i\pi(h+k+l)) \right)$$

$$S = 0 \quad \text{für } (h+k+l) \text{ ungerade}$$

$$S = 2 f_{Na} \quad \text{für } (h+k+l) \text{ gerade}$$

Sichtbar z. B. (200) (222) , nicht aber (100) (111) .

Unterschiedliche Bravaisgitter des gleichen Kristallsystems unterscheidbar



NaCl Struktur

$$R_0 = (0,0,0) \quad R_1 = \frac{a}{2} (1,1,1)$$

$$F = f_1 + f_2 \exp(i\pi(g_1 + g_2 + g_3))$$

Falls $f_1 = f_2 = f$:

$$F = f \cdot \left\{ \begin{array}{l} 2; \sum g_i = 2m \\ 0; \sum g_i = 2m+1 \end{array} \right\}$$

$$Z(\text{K}) = 19, \quad Z(\text{Cl}) = 17$$

$$\rho_e(\text{K}^+) = 18, \quad \rho_e(\text{Cl}^-) = 18$$

Vergleich der Röntgenreflexionen an KCl- und KBr-Pulver. In KCl ist die Elektronenzahl im K^+ - und im Cl^- -Ion gleich. Die Streuamplituden $f(\text{K}^+)$ und $f(\text{Cl}^-)$ sind deshalb fast identisch, so daß der Kristall für Röntgenstrahlen wie ein einatomiges, einfach kubisches Gitter mit der Gitterkonstanten $a/2$ aussieht. Bei den Reflexen erscheinen nur die geradzahigen Indizes, wenn sie auf ein kubisches Gitter mit der Gitterkonstanten a bezogen werden. Im KBr sind die Formfaktoren von K^+ und Br^- sehr verschieden, so daß alle Reflexe des fcc-Gitters auftreten. (Mit freundlicher Genehmigung von Robert van Nordstrand.)

Atomic Form Factor $f_j \approx Z_j$ number of electrons

Influence of G ?

$$f_j = \int_{atom\ j} dV \rho(\vec{r}) \exp(i\vec{G}\vec{r})$$

$$\vec{G}\vec{r} = |G||r|\cos\alpha \quad \text{and atom spherically symmetric}$$

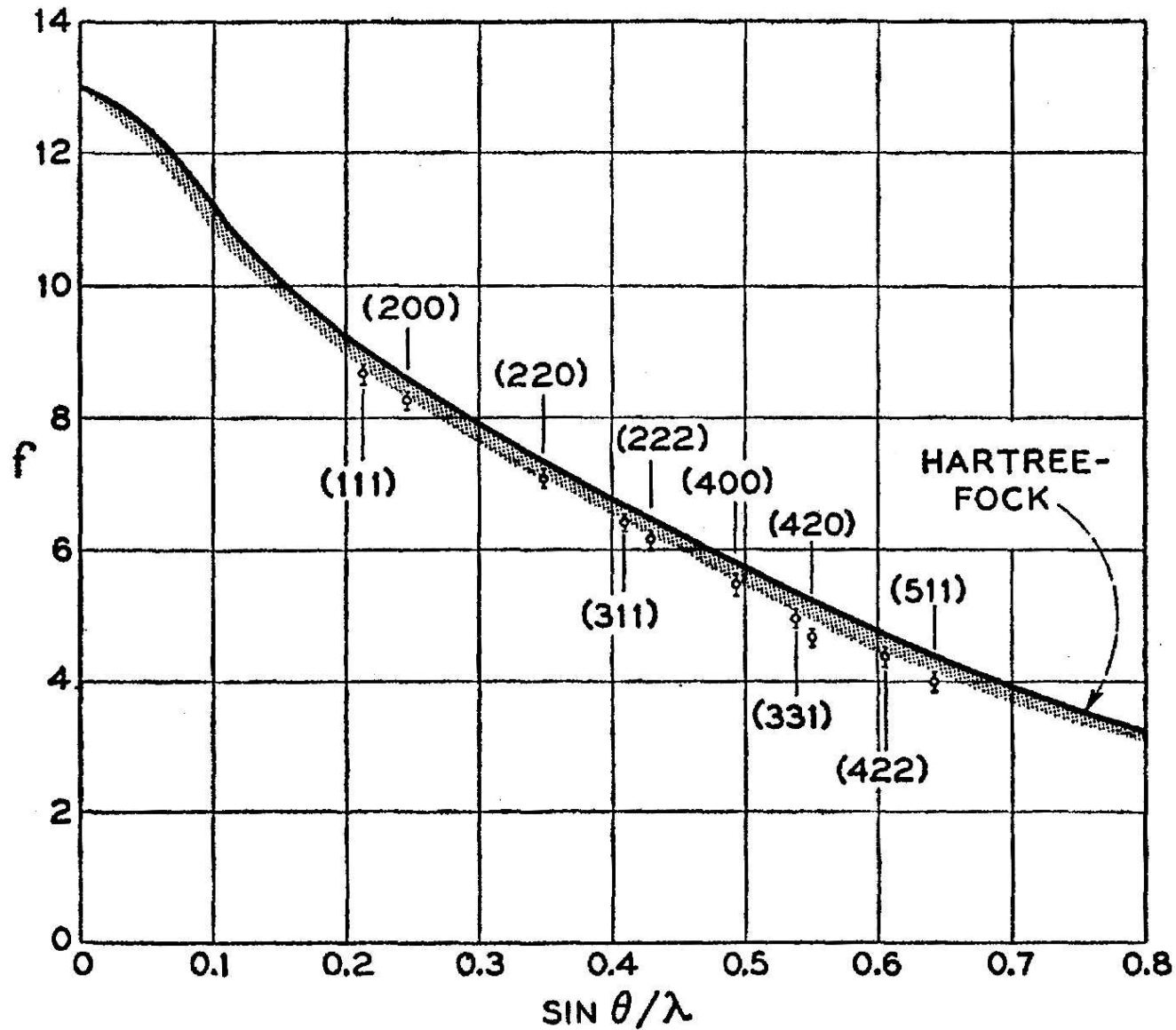
$$\begin{aligned} f_j &= 2\pi \int_0^\infty \int_{-1}^1 dr r^2 d(\cos\alpha) \rho(r) \exp(iGr \cos\alpha) \\ &= 2\pi \int dr r^2 \rho(r) \frac{\exp(iGr) - \exp(-iGr)}{iGr} \\ &= 4\pi \int dr r^2 \rho(r) \frac{\sin(Gr)}{Gr} \end{aligned}$$

decreases with increasing G

Experimentelle **atomare Streufaktoren** von Al

fcc-Kristall: keine Reflexe mit gemischt geraden und ungeraden Indizes

Batterman et al., Phys. Rev. B **122**, 68 (1961)

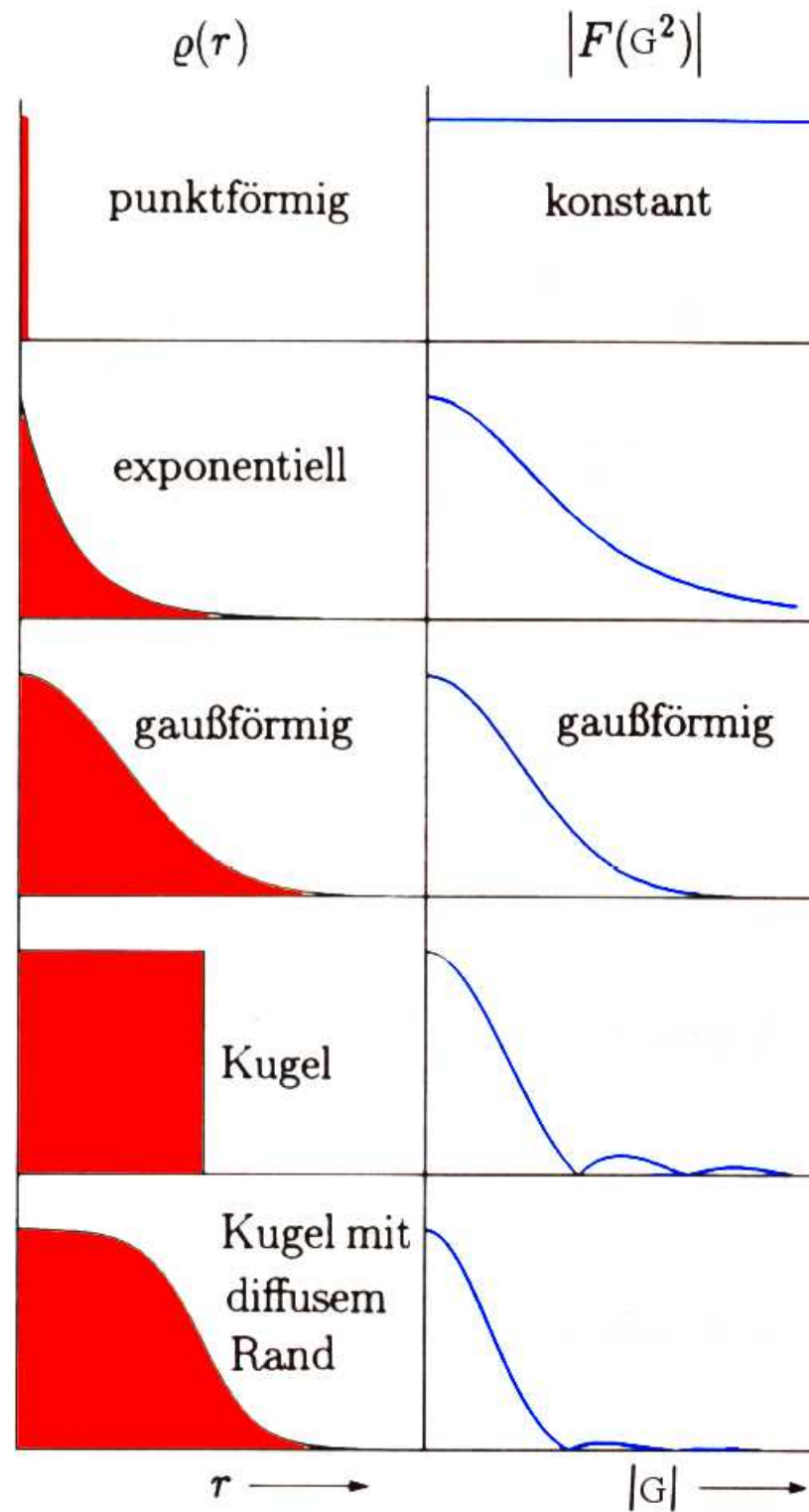


Faltung

Convolution

Atomare Formfaktoren

(aus der Kernphysik)



Exkurs: Kevin Cowtan's Book of Fourier

www.ysbl.york.ac.uk/~cowtan/fourier/fourier.html

Complex numbers have amplitude & phase

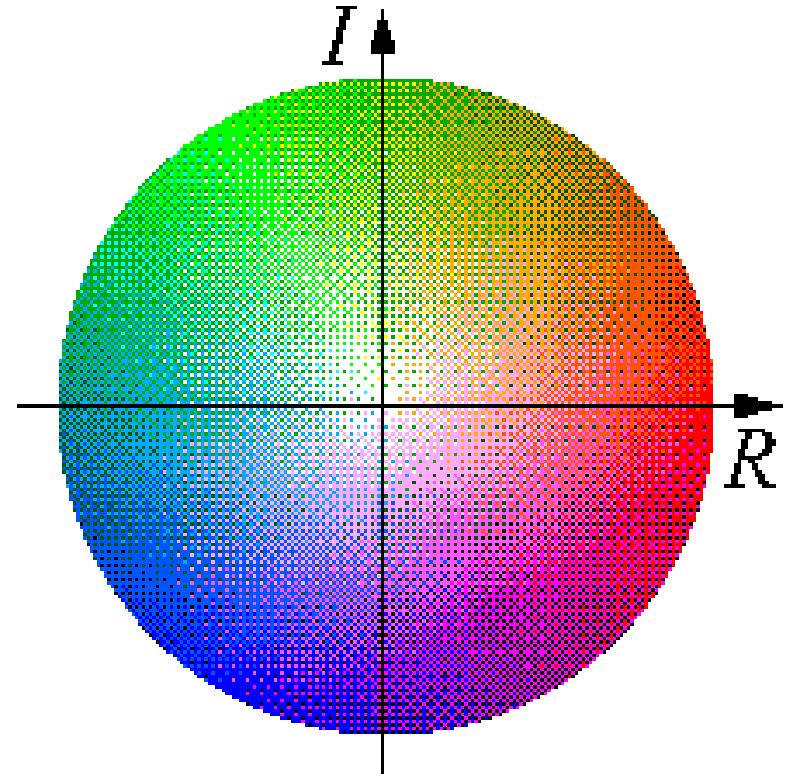
Colour scheme:

Amplitude by colour saturation and brightness

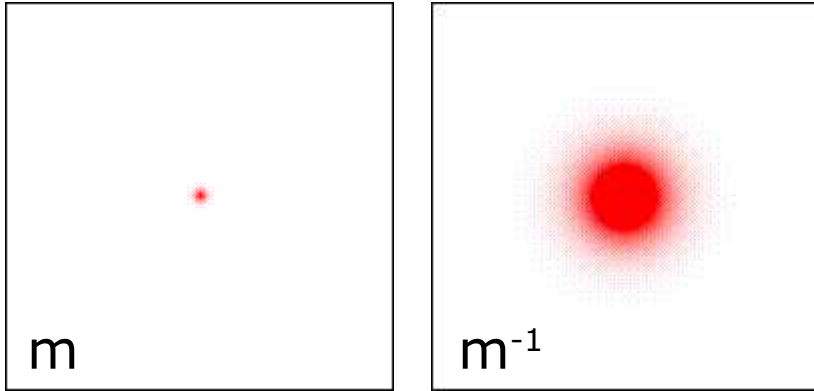
Phase by hue; 0° red, 120° green, 240° blue

Positive real numbers red, negative real numbers cyan

White represents zero magnitude

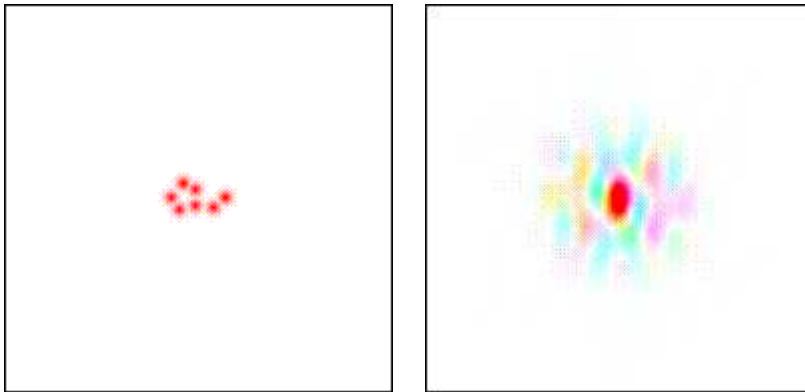


An atom, and its Fourier Transform



Both circularly symmetric
atom is sharp feature, transform
is broad - reciprocal relationship

A molecule, and its Fourier Transform



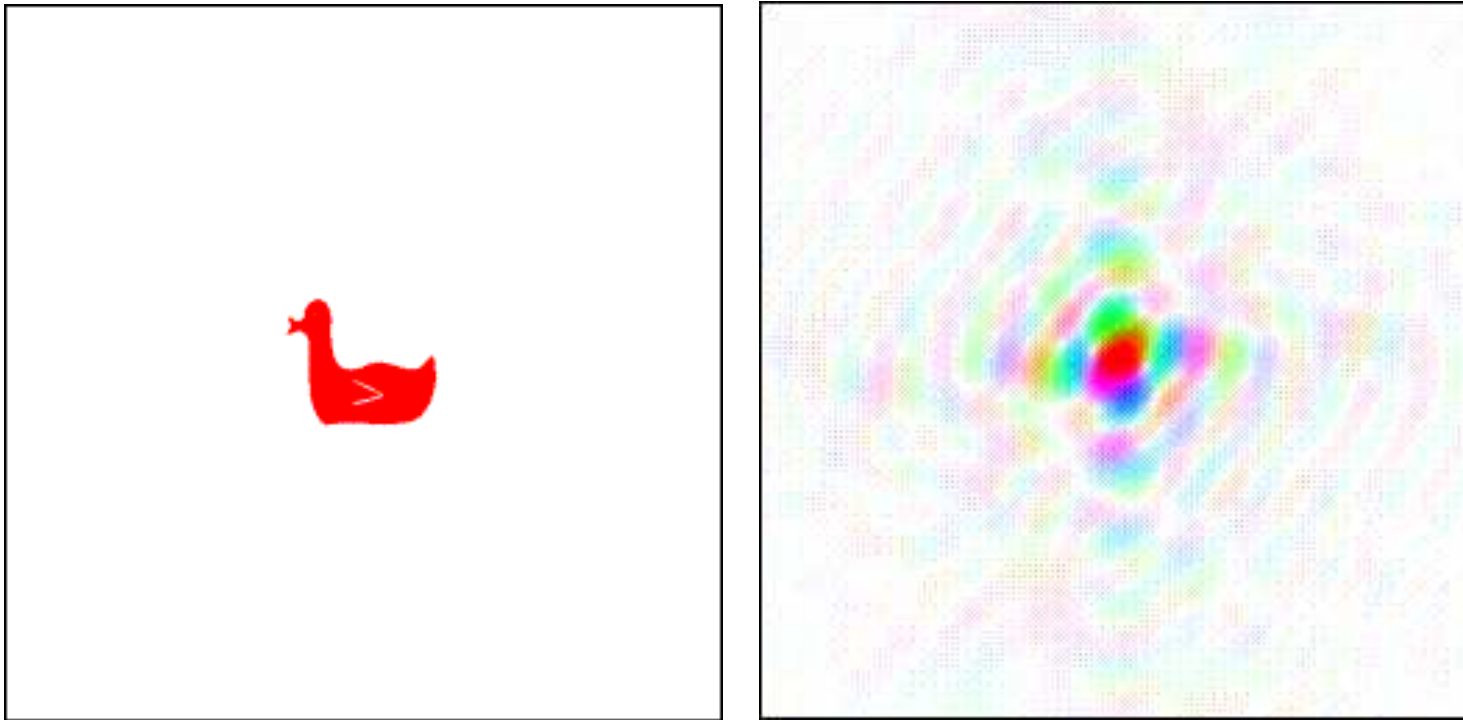
Molecule of seven atoms

Transform shows some detail, but overall shape \approx atomic transform

Molecule = convolution of point atom structure & atomic shape

Transform = product of point atom transform & atomic transform

A duck, and its Fourier Transform:

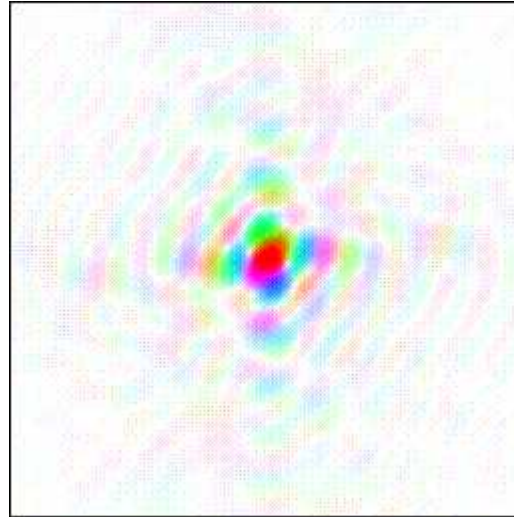
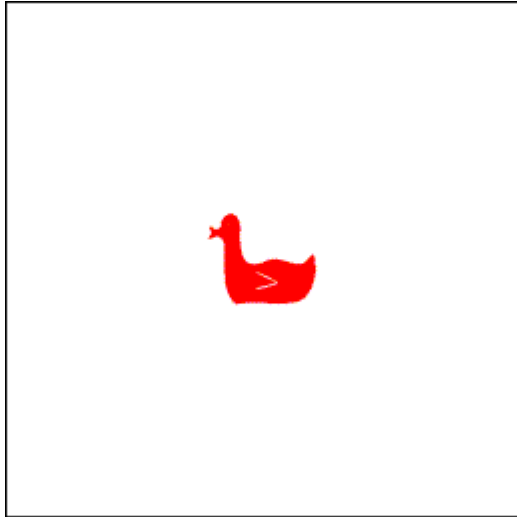


Crystallographic Interpretation:

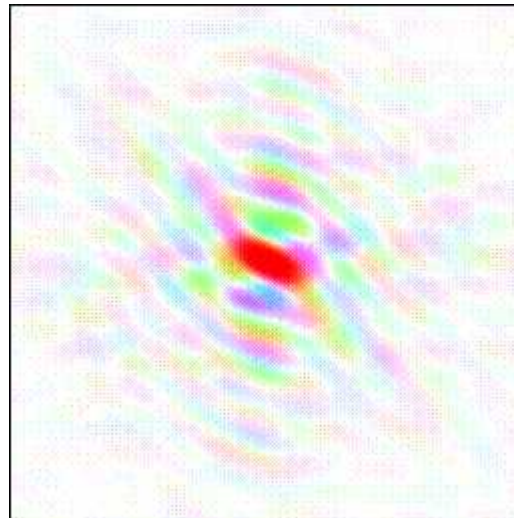
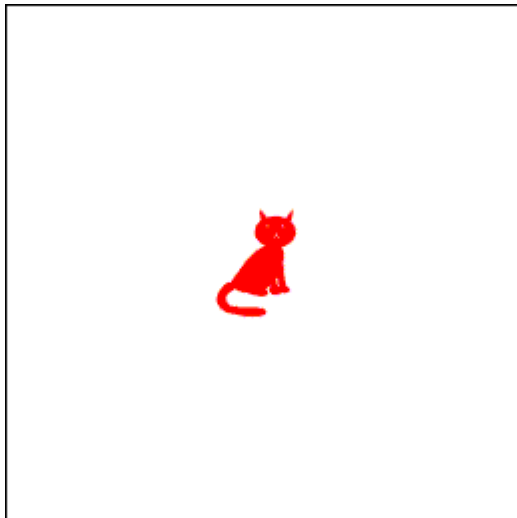
Real image gives rise to a Hermitian diffraction pattern

Animal Magic

The Fourier Duck, and its Fourier transform:



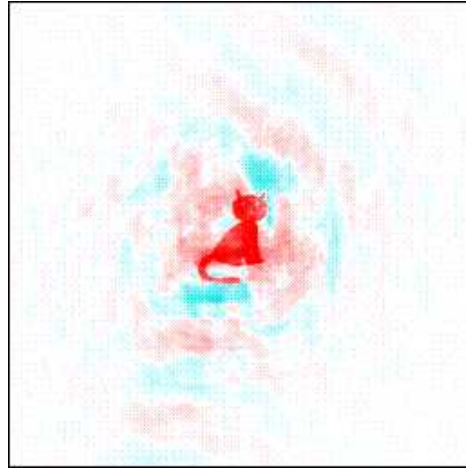
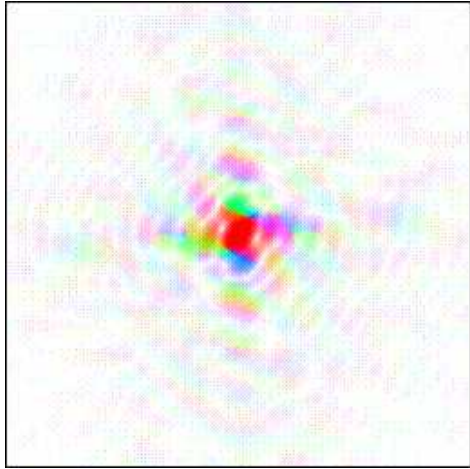
The Fourier Cat, and its Fourier transform:



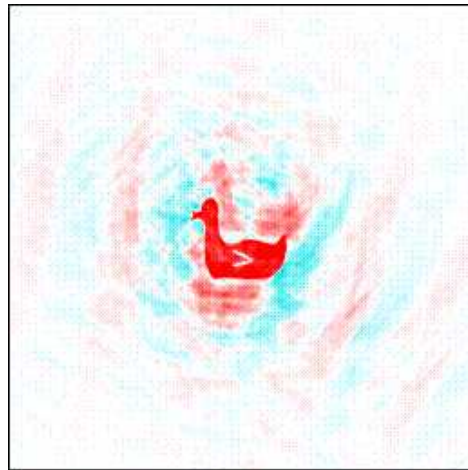
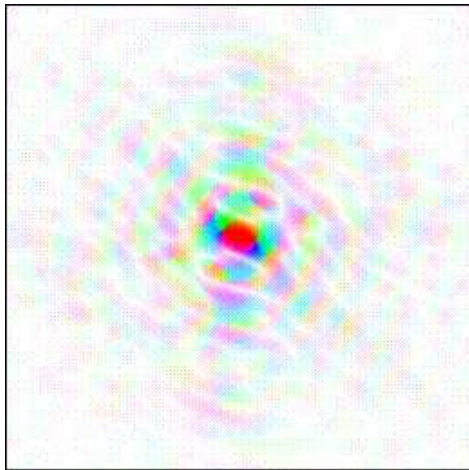
Mix them up

Magnitudes from Duck transform with phases from Cat transform

(Brightness from duck & colours from cat)



Magnitudes from Cat transform & phases from Duck transform



Phase image is still visible,
whereas magnitude image has gone.

Crystallographic Interpretation:

X-ray detection uses diffraction
magnitudes only.

Unfortunately phases contain the bulk
of the structural information.

... that is why crystallography is difficult.

Information aus Beugungsexperimenten

- ◆ Position der Beugungsmaxima

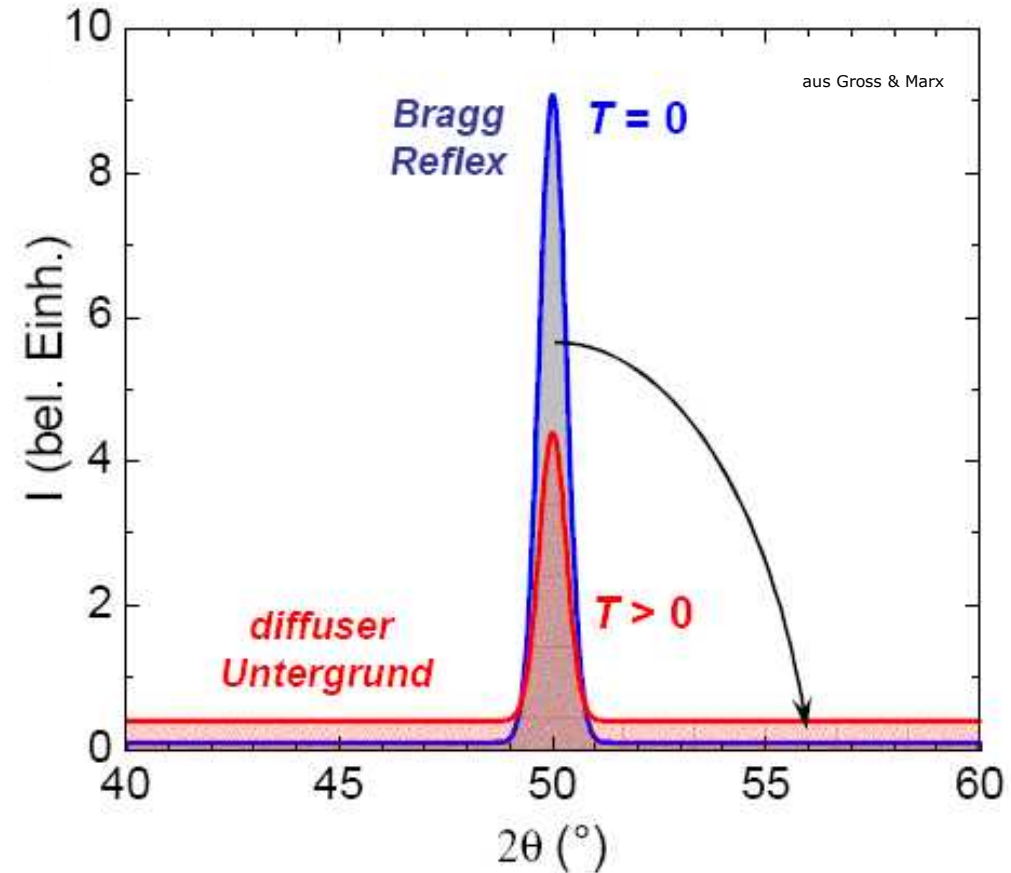
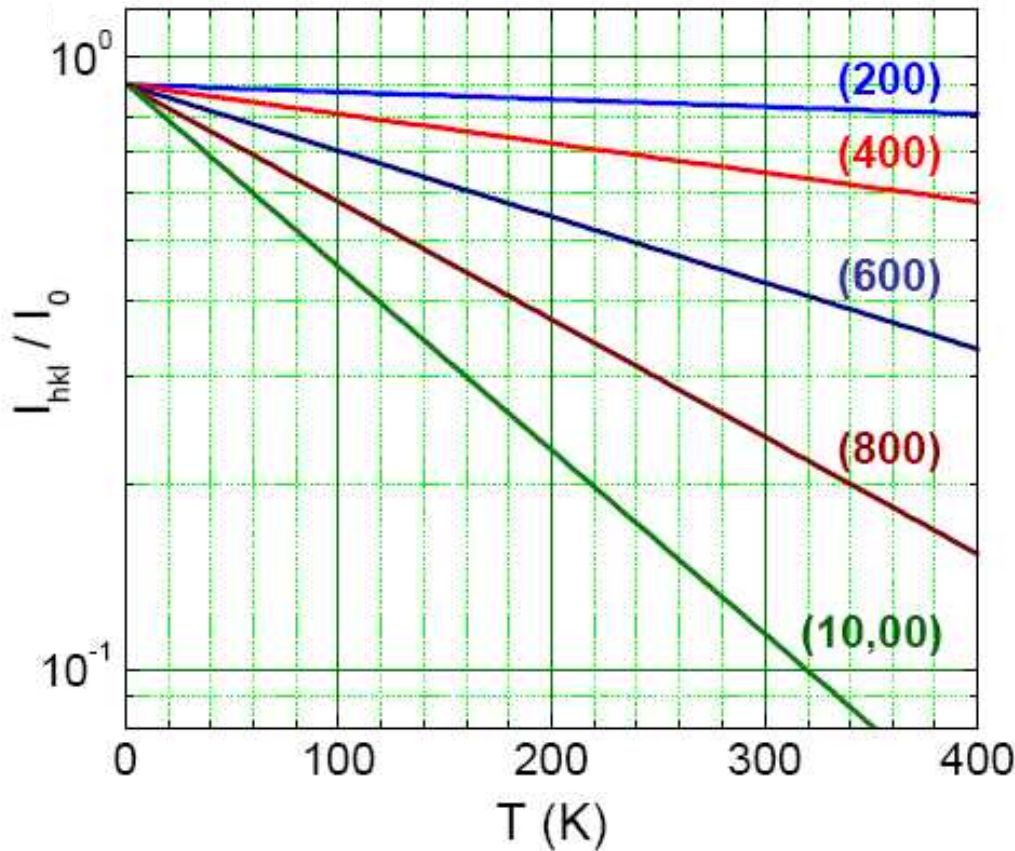
Periodizität / Gitter

- ◆ Intensität der Maxima

Struktur/Formfaktor — Basis

n.b. Phasenproblem

Temperaturabhängigkeit der Reflexintensität



$T > 0$: Atome vibrieren; Reflexe schwächer, aber gleich breit
 hohe Fourierkomponenten (große G) stärker betroffen
 Intensität 'geht' in diffusen Untergrund

Debye-Waller-Faktor $I \sim e^{-\alpha T}$ $I \sim e^{-\beta |G|}$ Peter Debye: M
 Ivar Waller: S

$$F_j \sim \overline{\exp(i\vec{G}(\vec{r}_j + \vec{u}))} = F_{j,0} \exp(i\overline{\vec{G}}\vec{u})$$

$$\approx F_{j,0} \left(1 + i\overline{\vec{G}}\vec{u} - \frac{1}{2} \overline{(\vec{G}\vec{u})^2} \right)$$

$$= F_{j,0} \left(1 + 0 - \frac{1}{2} \overline{G^2 u^2 \cos^2 \theta} \right)$$

$$\overline{\cos^2 \theta} = \frac{1}{4\pi} \int \cos^2 \theta \sin \theta d\theta d\phi = \frac{1}{3}$$

$$\Rightarrow F_j \sim F_{j,0} \left(1 - \frac{1}{6} G^2 \overline{u^2} \right) \approx F_{j,0} \exp\left(-\frac{1}{6} G^2 \overline{u^2}\right)$$

$$\Rightarrow I \sim F_j^2 \Rightarrow I = I_0 \exp\left(-\frac{1}{3} \overline{u^2} G^2\right)$$


Debye-Waller-Faktor

harmonischer Oszillator:

$$\bar{U} = \frac{3}{2} kT = \frac{1}{2} D \bar{u}^2 = \frac{1}{2} m \omega^2 \bar{u}^2 \Rightarrow \bar{u}^2 = \frac{3kT}{m \omega^2}$$

$$\Rightarrow I = I_0 \exp\left(-kT \frac{G^2}{m \omega^2}\right)$$

I nimmt mit T und |G| exponentiell ab

→ Vibrationsamplitude abschätzbar.

Bei T=0: Nullpunktsenergie: $E_0 = \frac{3}{2} \hbar \omega$

Zur Hälfte kin. Energie: $\Rightarrow \bar{u} = \frac{3}{4} \hbar \omega$

$$\Rightarrow I = I_0 \exp\left(\frac{-\hbar G^2}{2m\omega}\right)$$

Mit $G = 10^{11} \text{ m}^{-1}$, $\omega = 10^{14} \text{ s}^{-1}$, $m = 10^{-25} \text{ kg}$:

Exponent ≈ -0.1 , also: $I/I_0 \approx 90 \%$

Particles and their fields of application

- X rays: bulk, surfaces, layers
- Neutrons: bulk
- Electrons: surfaces, thin films, milled samples
- Helium atoms: surfaces

Sources

- X rays: X ray tube (anode), synchrotron source (polarized)
- Neutrons: reactor
- Electrons: thermoelectric & photoelectric effects (spin, time)
- Helium atoms: jet from expansion through nozzle

Rubisco: protein controlling CO₂ uptake of green plants some 10¹¹ tons CO₂ per year

Unit cell:

$a \approx b = 15.72 \text{ nm}$

$c = 20.13 \text{ nm}$

$\approx 200.000 \text{ C, O, N atoms}$
 $+ 32 \text{ Mn}$

data:

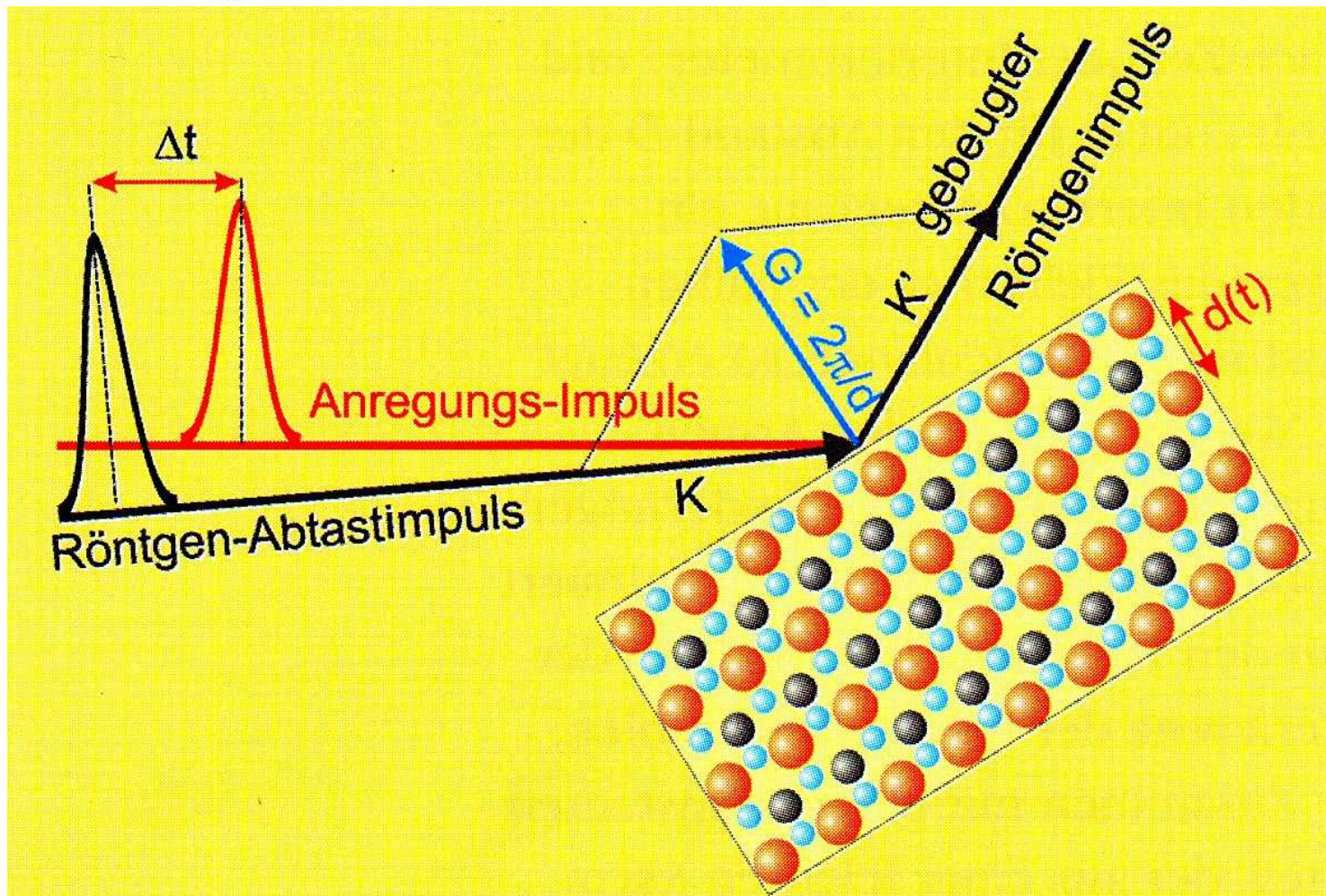
1s @Daresbury,

C.-I. Bränden et alii

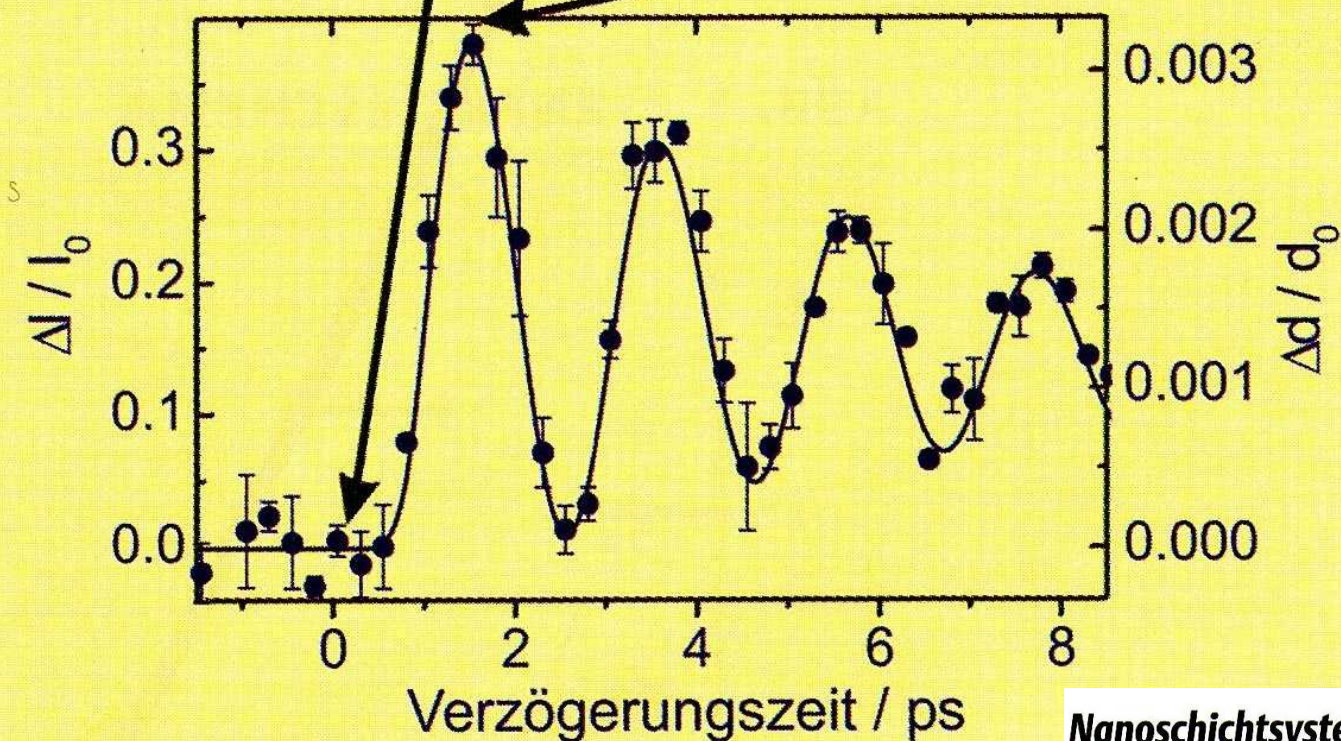
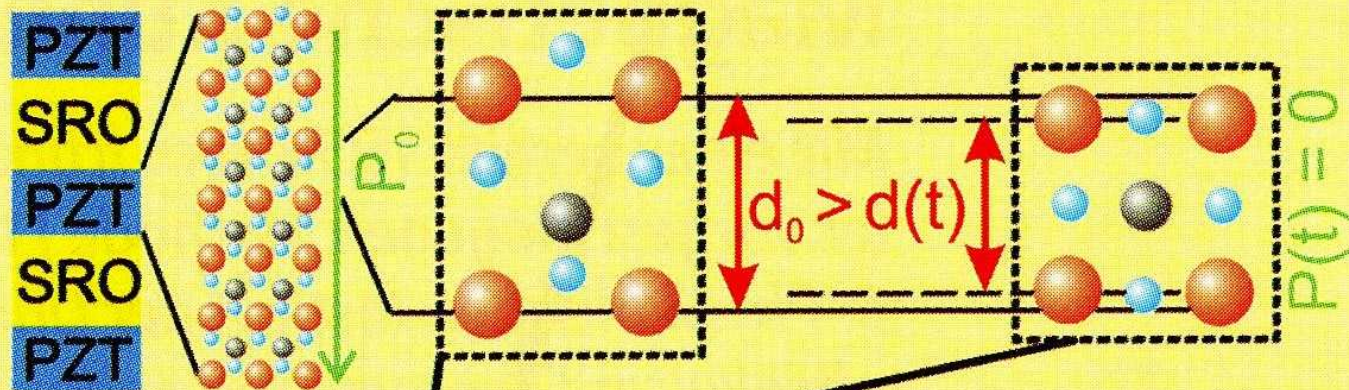
$\approx 100.000 \text{ spots}$

(6-50 keV)

Schwingende Nanoschichten im Röntgen-Stroboskop



Der Anregungs-Impuls versetzt das Kristallgitter in Bewegung. Nach einer Zeitverzögerung Δt wird der Röntgen-Abtastimpuls am Gittervektor G unter der Bragg-Bedingung $G = K' - K$ gestreut. Daraus wird die momentane Gitterkonstante $d(t) = 2\pi/G(t)$ bestimmt.



Nanoschichtsystem aus metallischem SRO und PZT, das wegen der Verschiebung der Anionen O^{2-} (blau) gegen die Kationen Pb^{4+} (rot) und Ti^{4+} (grau) eine ferroelektrische Polarisation P_0 aufweist. Schon nach 2 ps ist die Einheitszelle komprimiert und die ferroelektrische Polarisation $P(t)$ verschwunden. Die messbaren Änderungen $\Delta d/d_0$ der Gitterkonstante $d_0 = 0,409$ nm liegen im 100-fm-Bereich.

Thermal neutrons



SP_n : e.g. Xe^{143} , Sr^{90}

◆ Moderation using C, D_2O , H_2O

◆ e. g., Institut Laue Langevin, Grenoble

57 MW, 10 cm beam diameter, 1.5×10^{15} n/cm²s

2 ... 100 meV corresponding to 6 ... 0.6 Å

Dreiachsenspektrometer - (in)elastische Neutronenstreuung

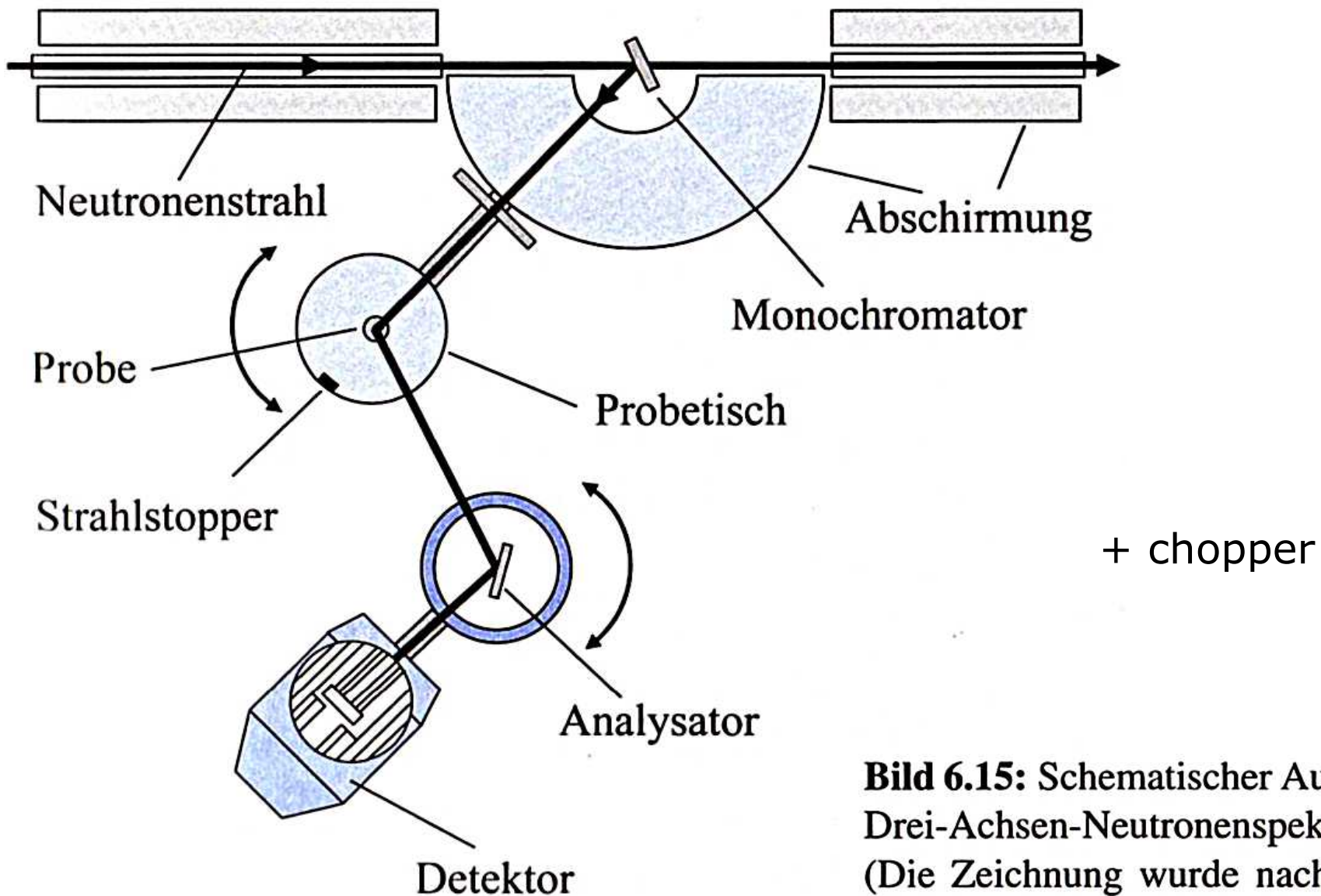


Bild 6.15: Schematischer Aufbau eines Drei-Achsen-Neutronenspektrometers. (Die Zeichnung wurde nach Angaben des Institut Laue-Langevin, Grenoble, für das Instrument IN3 erstellt.)

THE
PHYSICAL REVIEW

DIFFRACTION OF ELECTRONS BY A CRYSTAL OF NICKEL

BY C. DAVISSON AND L. H. GERMER

The most striking characteristic of these beams is a one to one correspondence, presently to be described, which the strongest of them bear to the Laue beams that would be found issuing from the same crystal if the incident beam were a beam of x-rays. Certain others appear to be analogues, not of Laue beams, but of optical diffraction beams from plane reflection gratings—the lines of these gratings being lines or rows of atoms in the surface of the crystal. Because of these similarities between the scattering of electrons by the crystal and the scattering of waves by three- and two-dimensional gratings a description of the occurrence and behavior of the electron diffraction beams in terms of the scattering of an equivalent wave radiation by the atoms of the crystal, and its subsequent interference, is not only possible, but most simple and natural. This involves the association of a wave-length with the incident electron beam, and this wave-length turns out to be in acceptable agreement with the value h/mv of the undulatory mechanics, Planck's action constant divided by the momentum of the electron.